

Géométrie de la Réalité Augmentée

Gilles Simon



« C'est une chose qui me paraît toujours admirable, qu'on ait découvert de si sublimes vérités avec l'aide d'un quart de cercle et d'un peu d'arithmétique »

Voltaire, quinzième Lettre philosophique, 1727

La perspective centrale

Géométrie de la réalité augmentée
12/01/2016



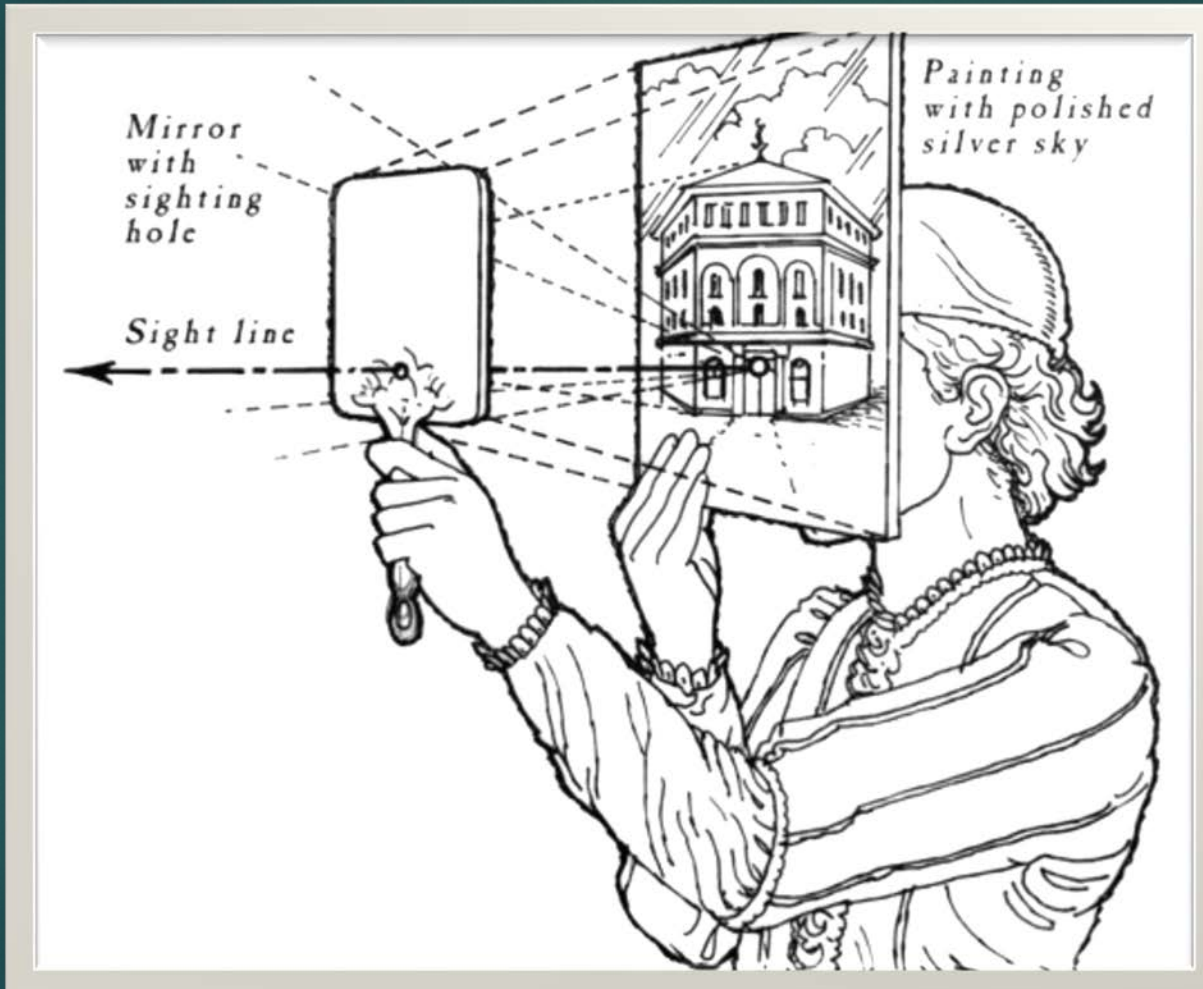
Ambrogio Lorenzetti, Les effets du bon gouvernement, 1340

La perspective centrale

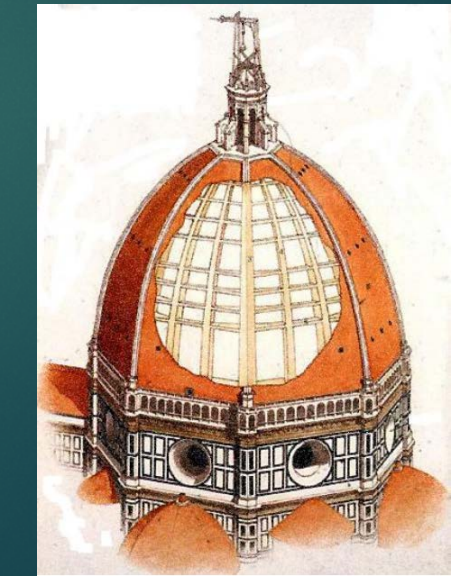
« Quand donc la lumière du jour entoure le flux issu des yeux, alors le feu intérieur qui s'échappe, le semblable allant vers le semblable, après s'être combiné avec la lumière du jour se constitue en un seul corps ayant les mêmes propriétés tout le long de la droite issue des yeux, quel que soit l'endroit où le feu qui jaillit de l'intérieur entre en contact avec le feu qui provient des objets extérieurs »

Platon, *Timée*, vers -360

La perspective centrale



La tavoletta de Brunelleschi, vers 1420

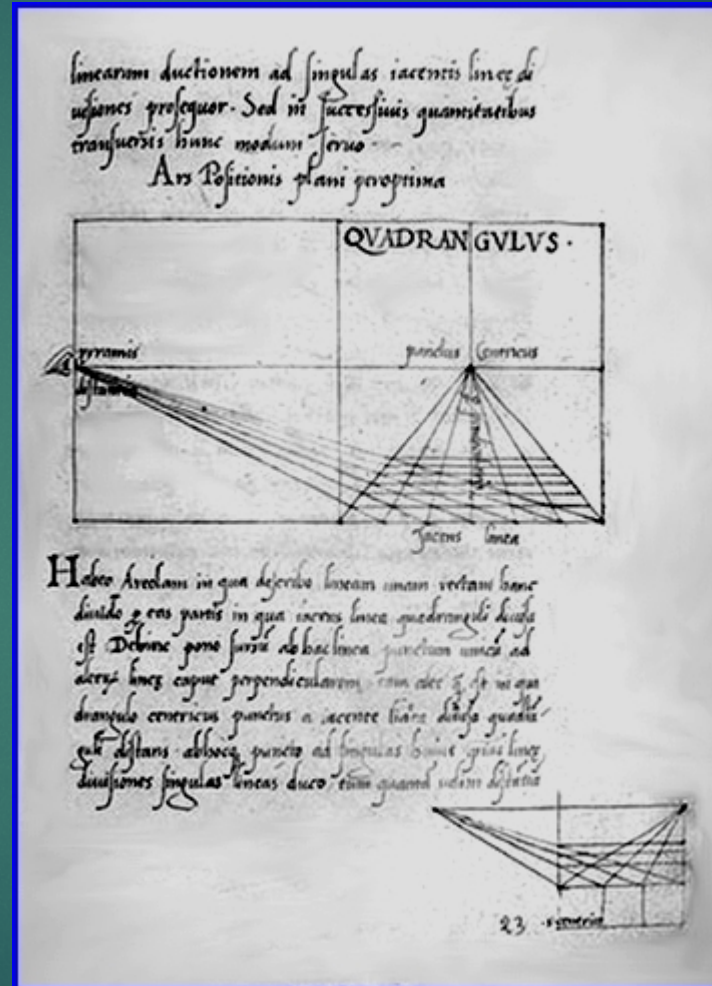
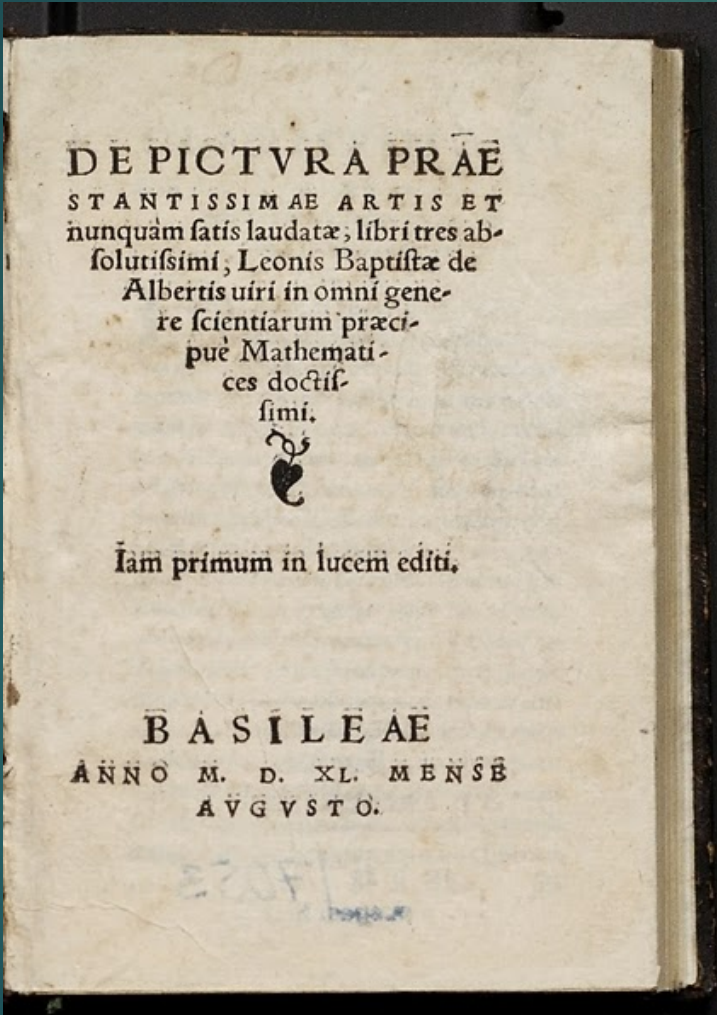


La perspective centrale



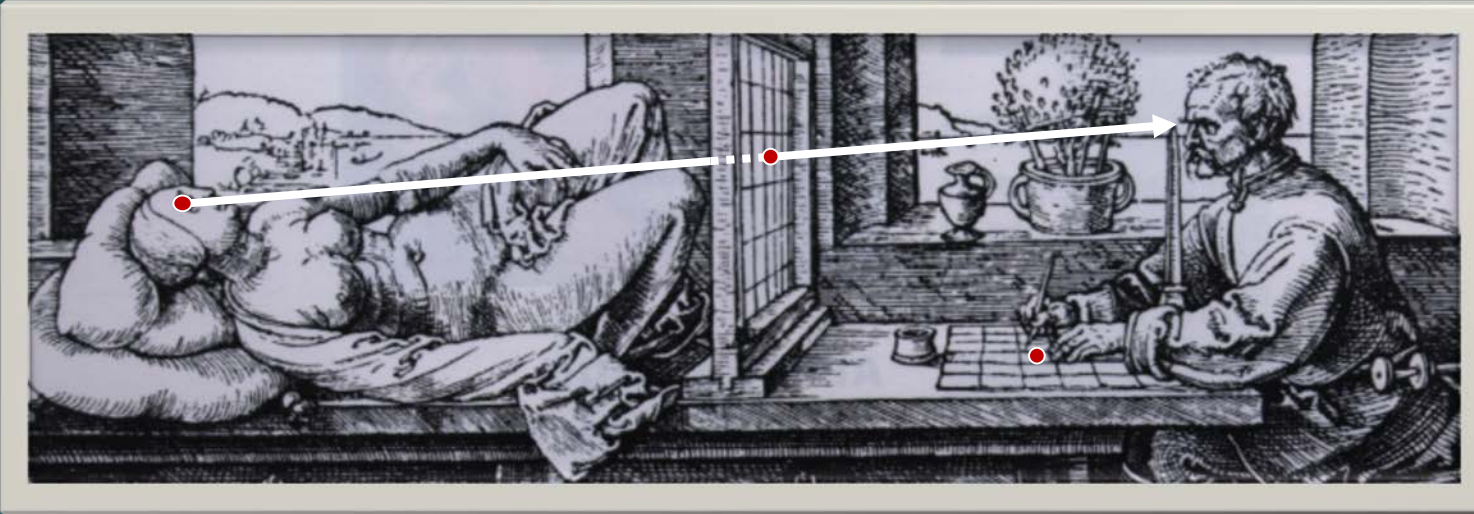
Masaccio, La Trinité, 1427

La perspective centrale



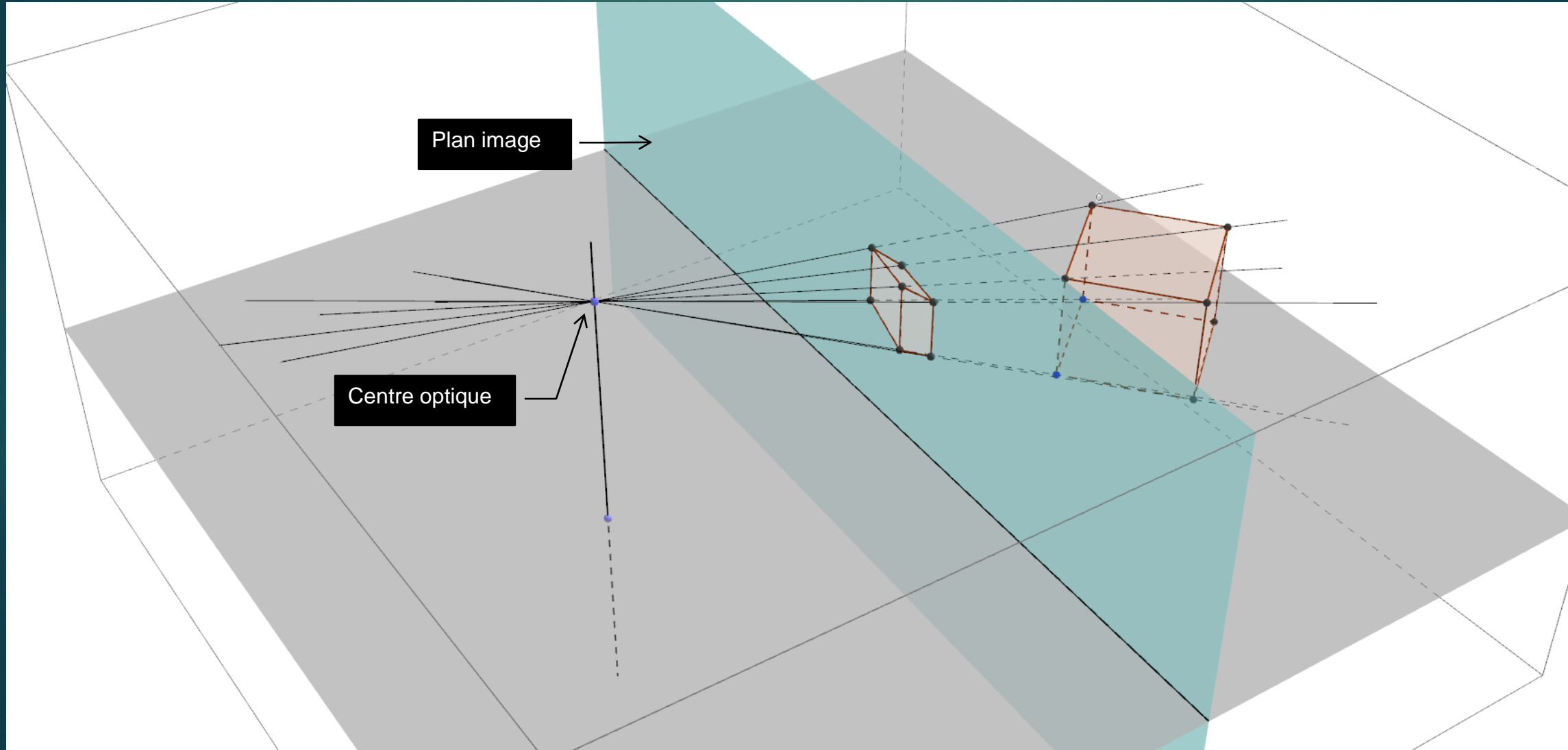
Alberti, *De pictura* (« De la peinture »), 1435

La perspective centrale



Albrecht Dürer, Instructions pour mesurer (Le dessinateur de la femme couchée), 1527

La perspective centrale

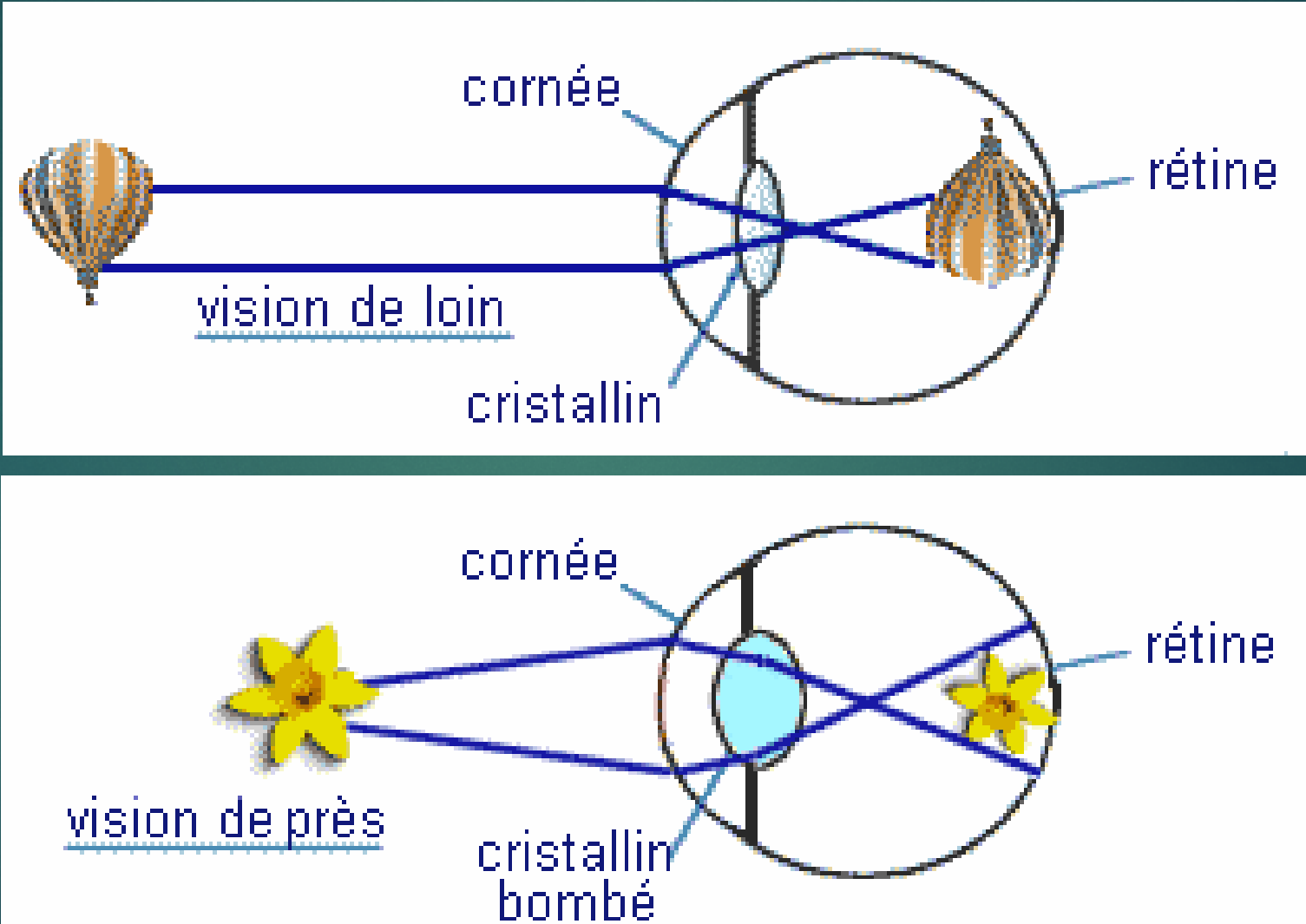


La perspective centrale

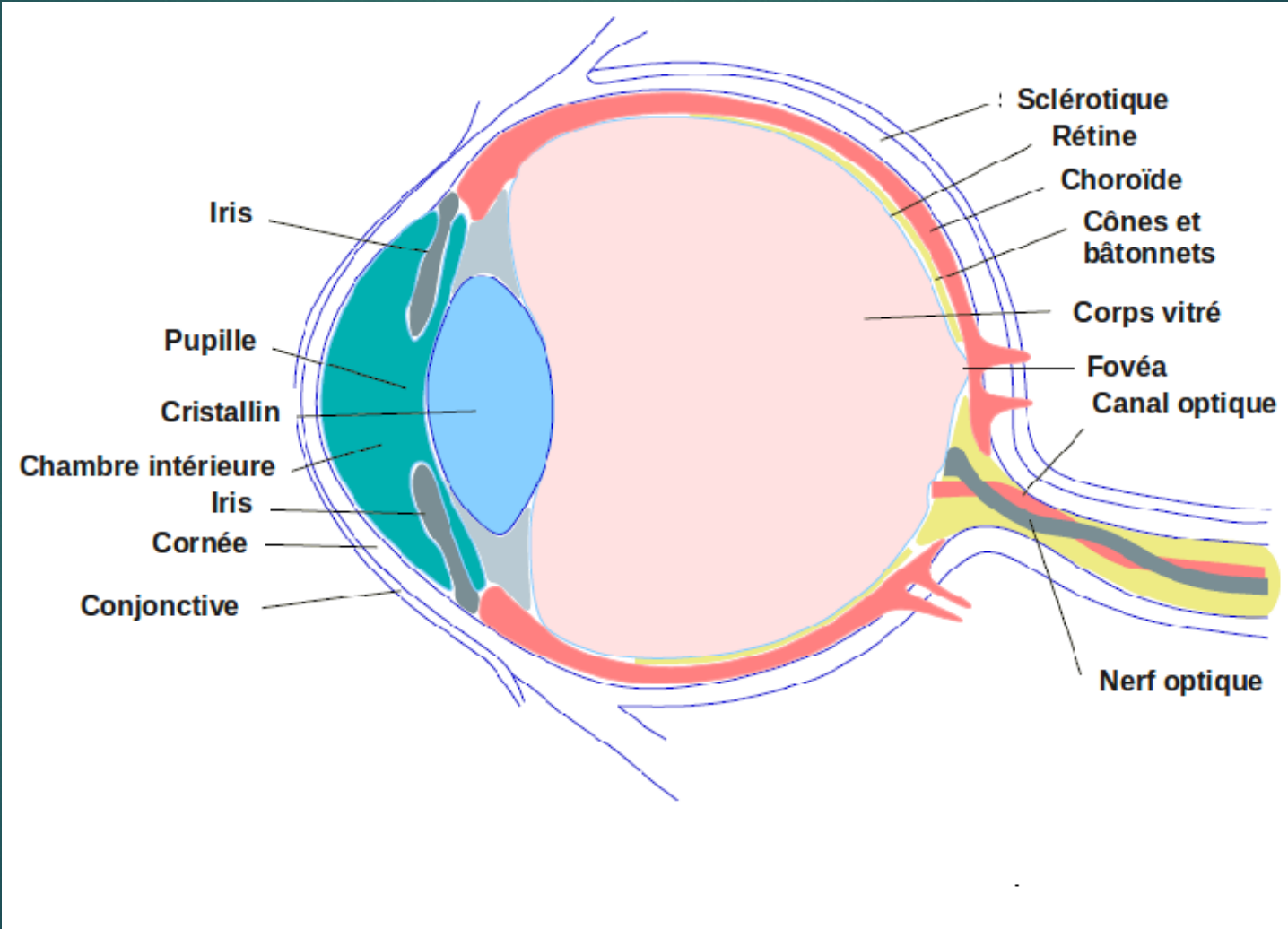


Ce modèle est-il respecté
(prolongé) à l'intérieur de l'œil ?

La perspective centrale



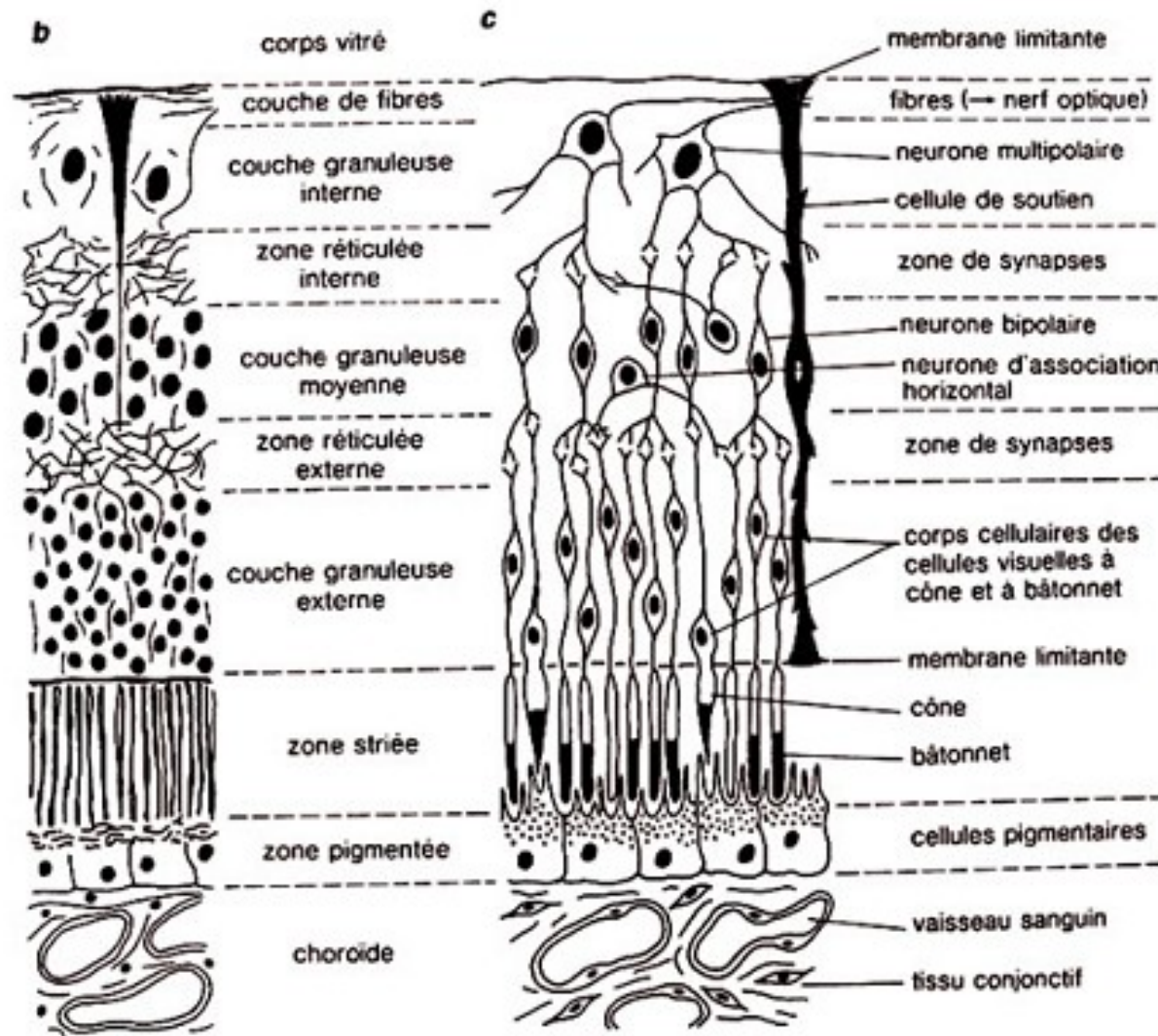
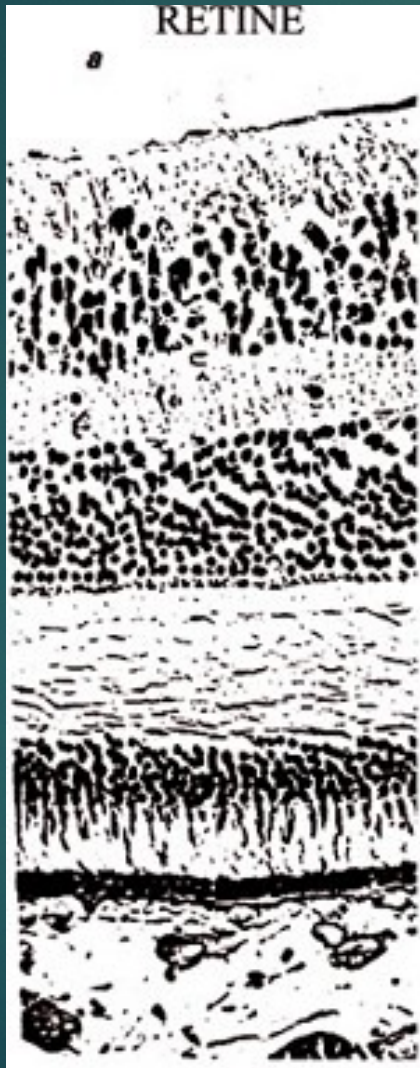
La perspective centrale



La perspective centrale

12

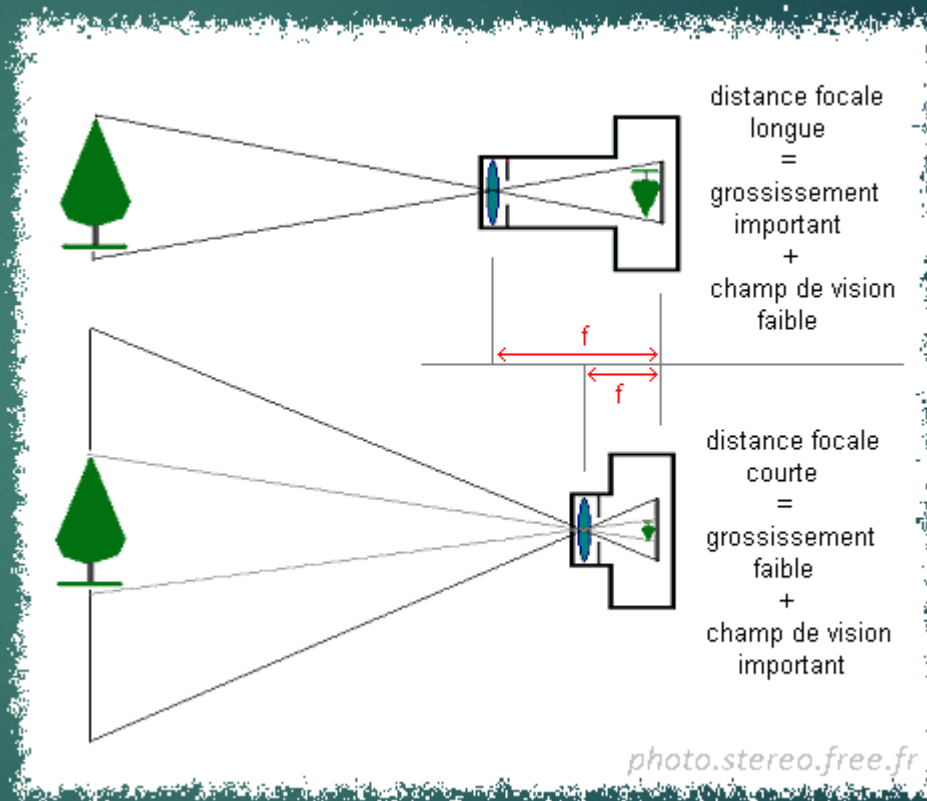
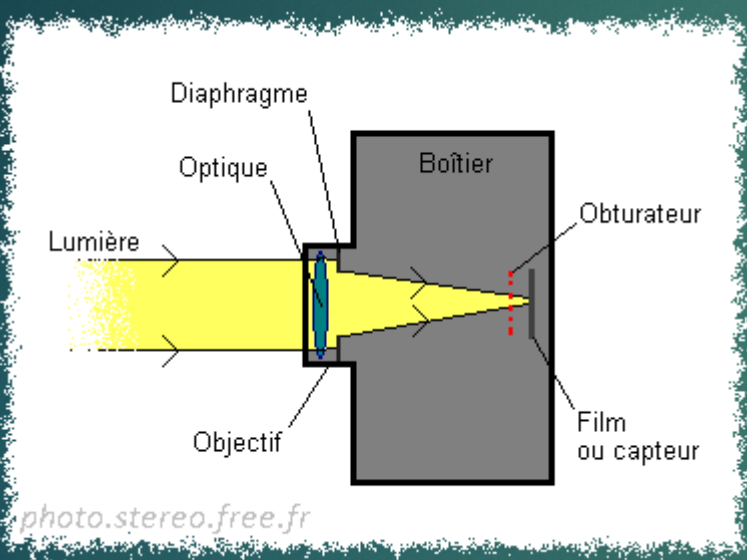
Géométrie de la réalité augmentée
12/01/2016



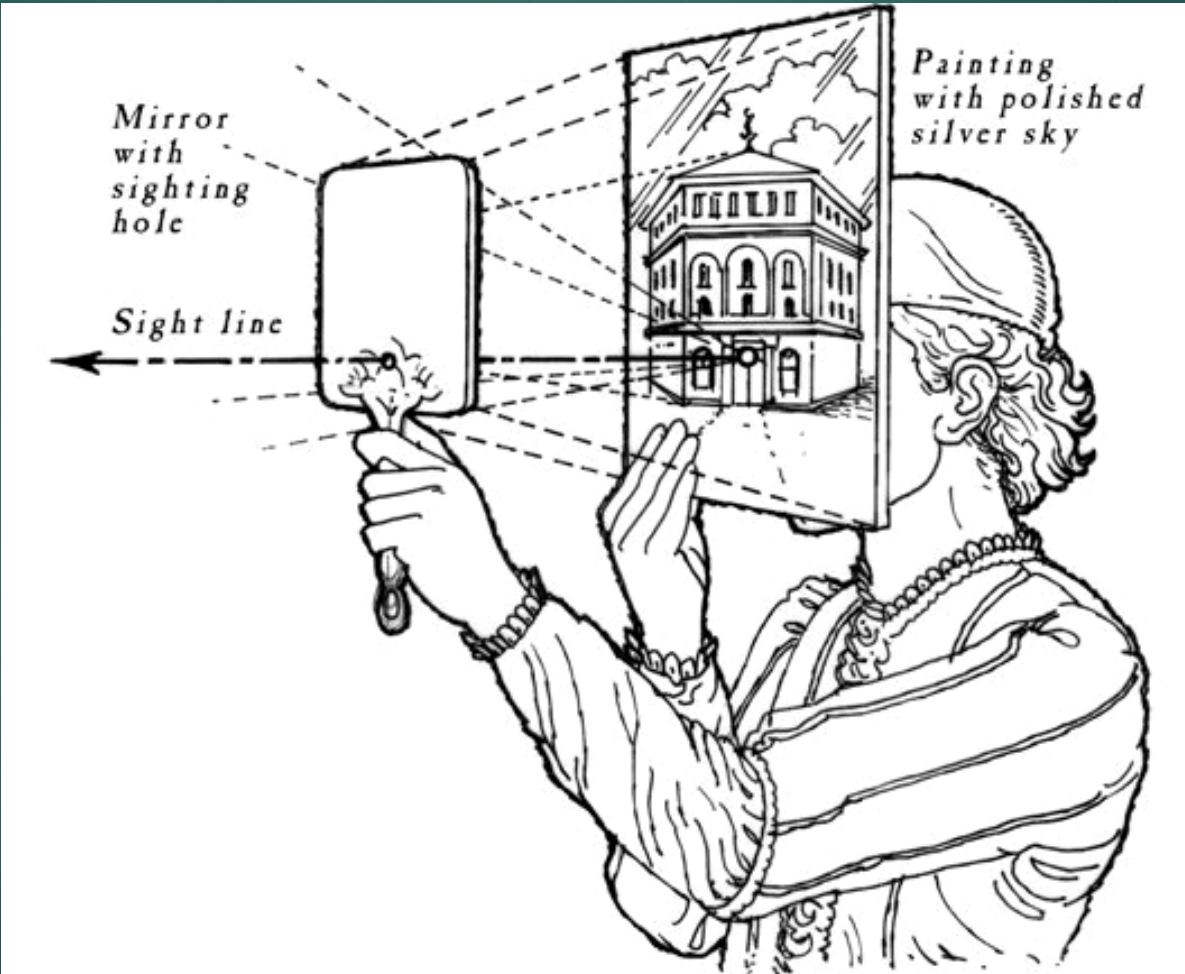
La perspective centrale

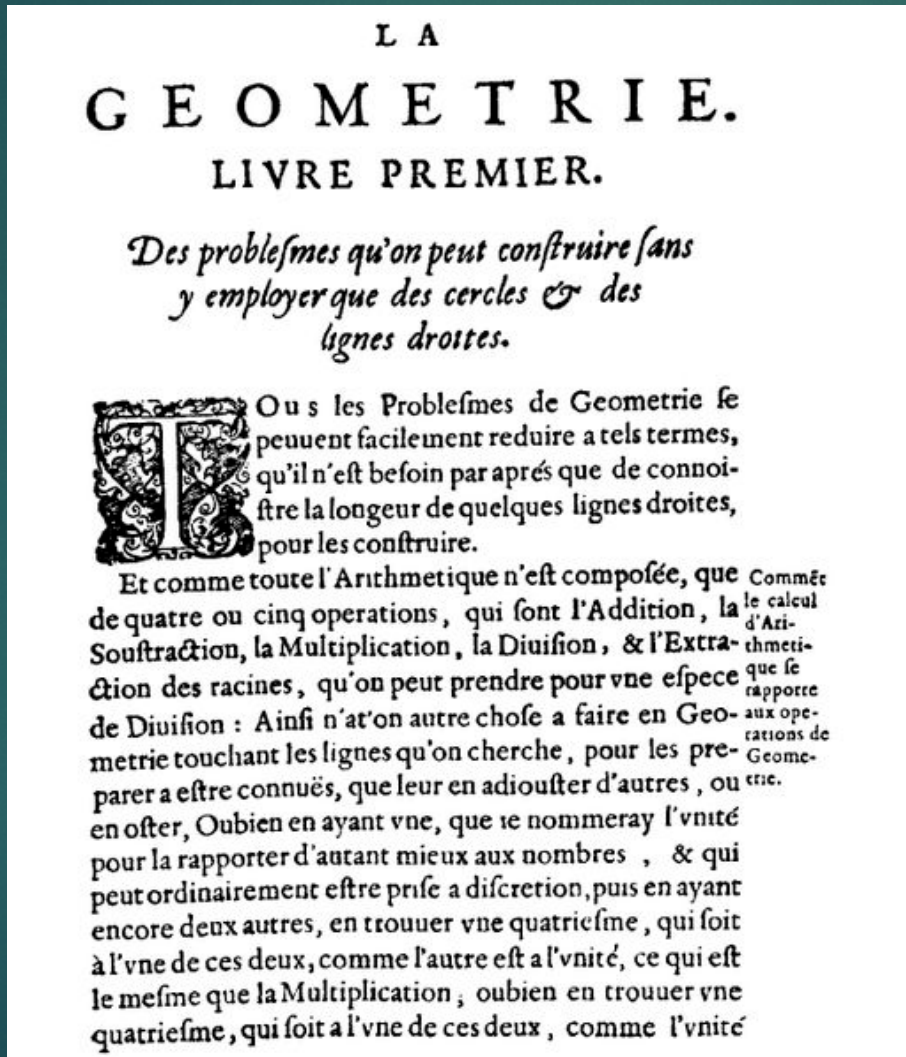
13

Géométrie de la réalité augmentée
12/01/2016



La perspective centrale



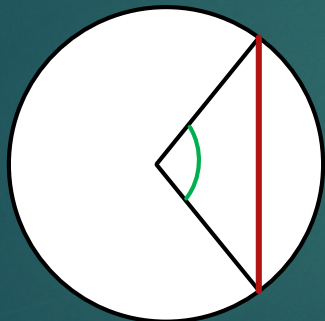


René Descartes, 1637

Origine de la trigonométrie

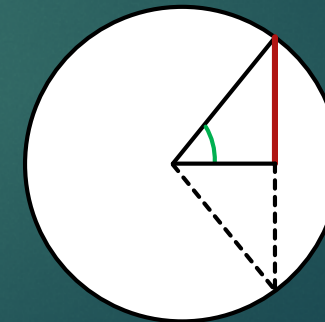
- ▶ Du grec "trigone" (triangle) et "metron" (mesure)

Hipparque de Nicée (-190 ; -120) : premières tables trigonométriques

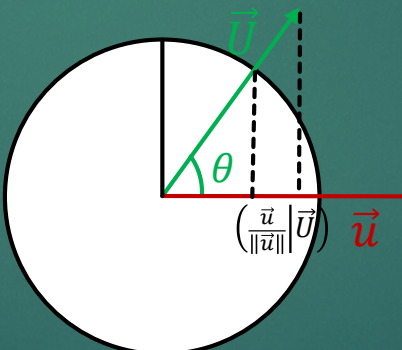
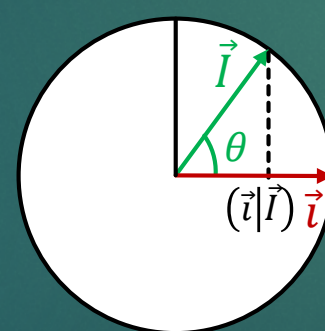
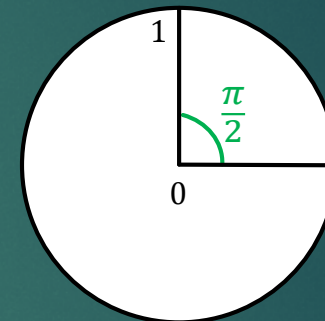
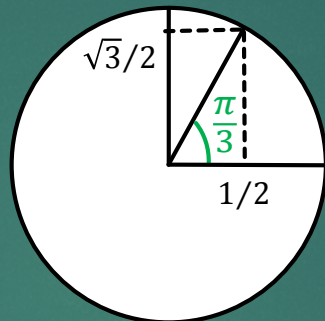
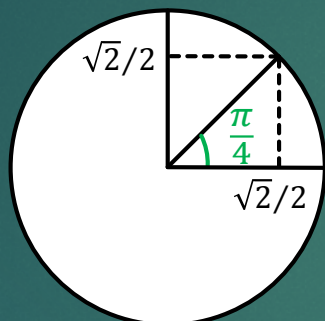
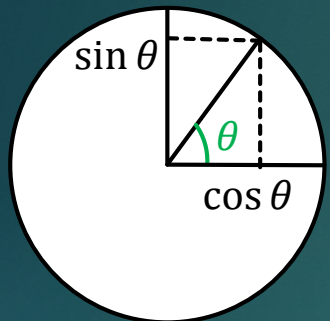


La règle de Ptolémée
(90 ; 168)

Aryabhata l'Ancien (476 ; 550) utilise la demi corde : premières tables de sinus



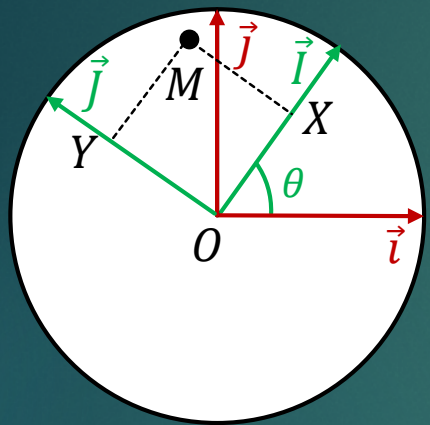
Rappels sur la trigonométrie et le produit scalaire



$$\begin{aligned}
 (\vec{i}|\vec{I}) &= \left(\begin{pmatrix} 1 \\ 0 \end{pmatrix} \middle| \begin{pmatrix} \cos \theta \\ \sin \theta \end{pmatrix} \right) \\
 &= \cos \theta
 \end{aligned}$$

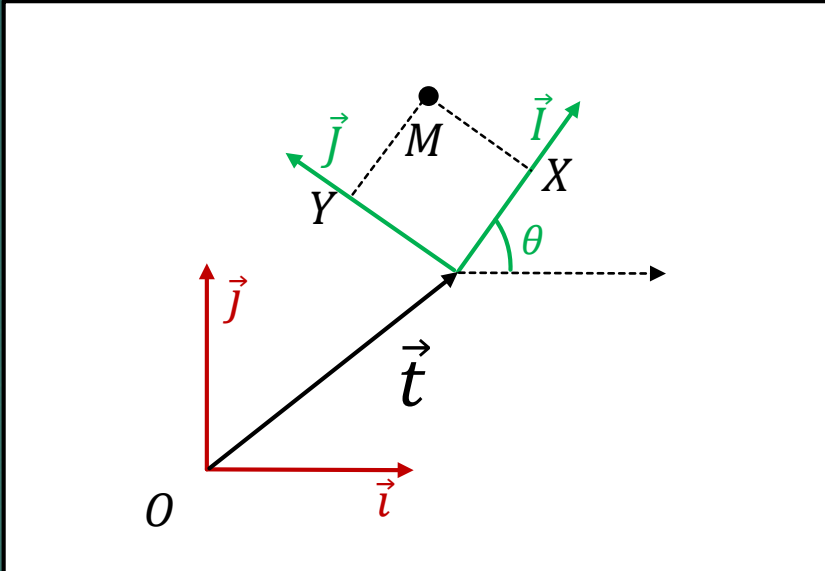
$$\begin{aligned}
 \left(\begin{pmatrix} \vec{u} \\ \|\vec{u}\| \end{pmatrix} \middle| \begin{pmatrix} \vec{U} \\ \|\vec{U}\| \end{pmatrix} \right) &= \cos \theta \\
 \Rightarrow (\vec{u}|\vec{U}) &= \|\vec{u}\| \|\vec{U}\| \cos \theta
 \end{aligned}$$

Rappels sur les changements de repère



Si (X, Y) sont les coordonnées du point M dans le repère (\vec{I}, \vec{J}) , que valent ses coordonnées dans le repère (\vec{i}, \vec{j}) ?

$$\begin{aligned}\overrightarrow{OM} &= X\vec{I} + Y\vec{J} \\ &= X \begin{pmatrix} \cos \theta \\ \sin \theta \end{pmatrix} + Y \begin{pmatrix} -\sin \theta \\ \cos \theta \end{pmatrix} \\ &= \begin{pmatrix} \cos \theta & -\sin \theta \\ \sin \theta & \cos \theta \end{pmatrix} \begin{pmatrix} X \\ Y \end{pmatrix} = \mathbf{R}_\theta \begin{pmatrix} X \\ Y \end{pmatrix}\end{aligned}$$



Même question si le repère (\vec{I}, \vec{J}) est, de plus, translaté d'un vecteur \vec{t}

$$\overrightarrow{OM} = \vec{t} + X\vec{I} + Y\vec{J}$$

$$= \begin{pmatrix} t_x \\ t_y \end{pmatrix} + \mathbf{R}_\theta \begin{pmatrix} X \\ Y \end{pmatrix}$$

$$= (\mathbf{R}_\theta \quad \mathbf{T}) \begin{pmatrix} X \\ Y \\ 1 \end{pmatrix}$$

Transformation inverse :

$$\begin{pmatrix} x \\ y \end{pmatrix} = \overrightarrow{OM} = \mathbf{T} + \mathbf{R}_\theta \begin{pmatrix} X \\ Y \end{pmatrix}$$

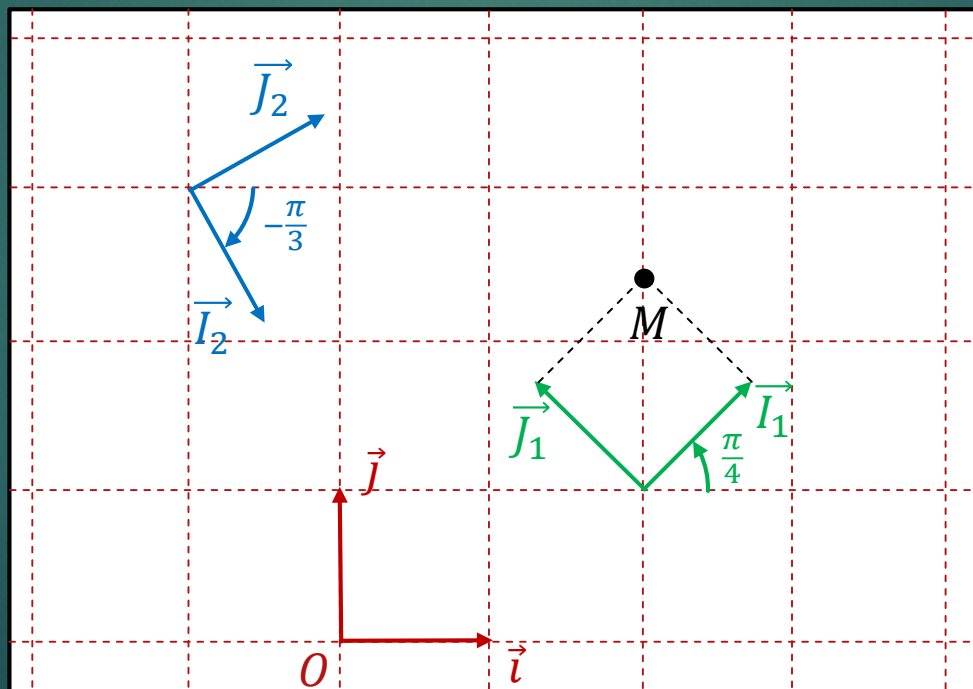
$$\Leftrightarrow \begin{pmatrix} X \\ Y \end{pmatrix} = \mathbf{R}_\theta^{-1} \begin{pmatrix} x \\ y \end{pmatrix} - \mathbf{R}_\theta^{-1} \mathbf{T}$$

$$\Leftrightarrow \begin{pmatrix} X \\ Y \\ 1 \end{pmatrix} = (\mathbf{R}_\theta^{-1} \quad -\mathbf{R}_\theta^{-1} \mathbf{T}) \begin{pmatrix} x \\ y \\ 1 \end{pmatrix}$$

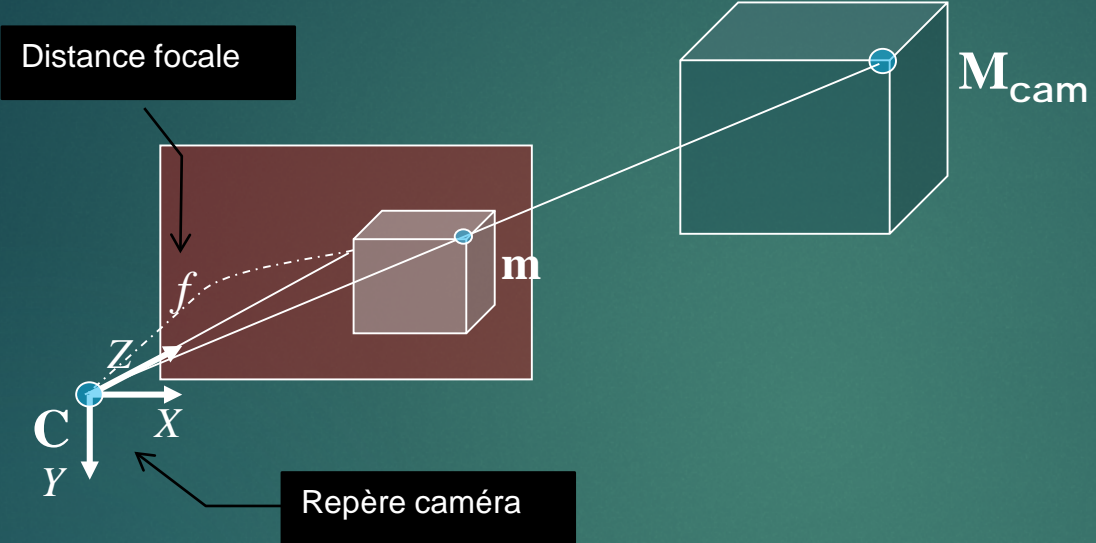
« Coordonnées homogènes »

Rappels sur les changements de repère

- Exemple : Quelle sont les coordonnées du point M dans le repère (\vec{I}_2, \vec{J}_2) ?

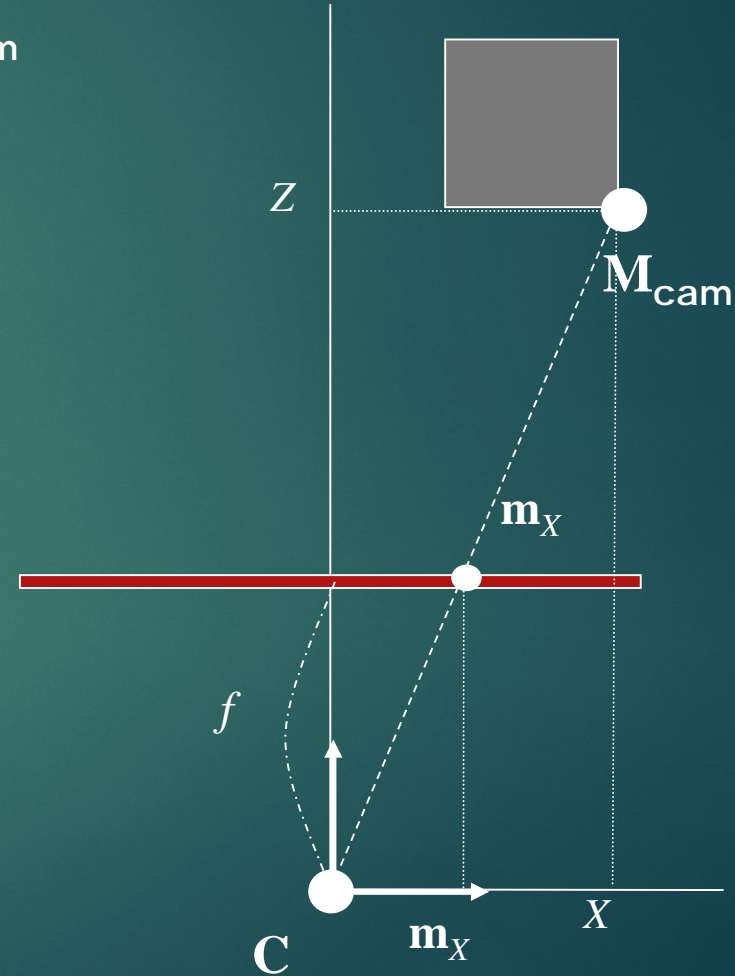


Projection dans le plan image

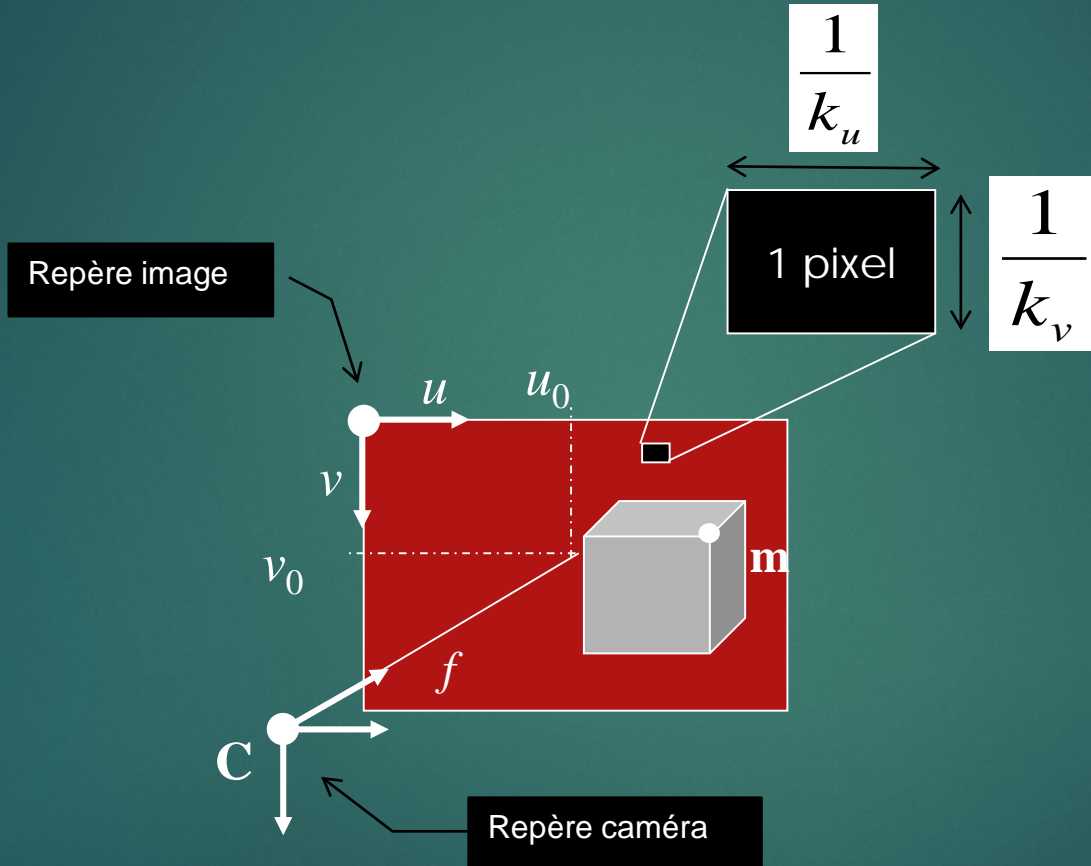


Calcul des coordonnées de m dans le plan image à partir des coordonnées de M_{cam} , exprimées dans le repère caméra (Thalès) :

$$\frac{\mathbf{m}_x}{f} = \frac{X}{Z} \rightarrow \mathbf{m}_x = f \frac{X}{Z}$$



Passage aux coordonnées pixels



$$\mathbf{m}_u = u_0 + k_u \mathbf{m}_X, \quad \mathbf{m}_v = v_0 + k_v \mathbf{m}_Y$$

Synthèse

$$\left. \begin{array}{l} \mathbf{m}_X = f \frac{X}{Z}, \quad \mathbf{m}_Y = f \frac{Y}{Z} \\ \mathbf{m}_u = u_0 + k_u \mathbf{m}_X, \quad \mathbf{m}_v = v_0 + k_v \mathbf{m}_Y \end{array} \right\} \rightarrow \left\{ \begin{array}{l} \mathbf{m}_u = u_0 + k_u f \frac{X}{Z} \\ \mathbf{m}_v = v_0 + k_v f \frac{Y}{Z} \end{array} \right.$$

Sous forme matricielle

$$\begin{pmatrix} u \\ v \\ w \end{pmatrix} = \begin{pmatrix} k_u f & 0 & u_0 \\ 0 & k_v f & v_0 \\ 0 & 0 & 1 \end{pmatrix} \begin{pmatrix} X \\ Y \\ Z \end{pmatrix}$$

$$\begin{pmatrix} u \\ v \\ w \end{pmatrix} \text{ définit } \mathbf{m} \text{ en coordonnées homogènes} \rightarrow \left\{ \begin{array}{l} \mathbf{m}_u = \frac{u}{w} = u_0 + k_u f \frac{X}{Z} \\ \mathbf{m}_v = \frac{v}{w} = v_0 + k_v f \frac{Y}{Z} \end{array} \right.$$

La matrice de calibration interne

La matrice
$$\begin{pmatrix} k_u f & 0 & u_0 \\ 0 & k_v f & v_0 \\ 0 & 0 & 1 \end{pmatrix}$$

est appelée "matrice de calibration interne" ou "matrice de calibration intrinsèque" ou matrice de calibration" ou "matrice des paramètres intrinsèques"

Elle est généralement notée K et paramétrée par quatre valeurs a_u , a_v , u_0 , v_0 :

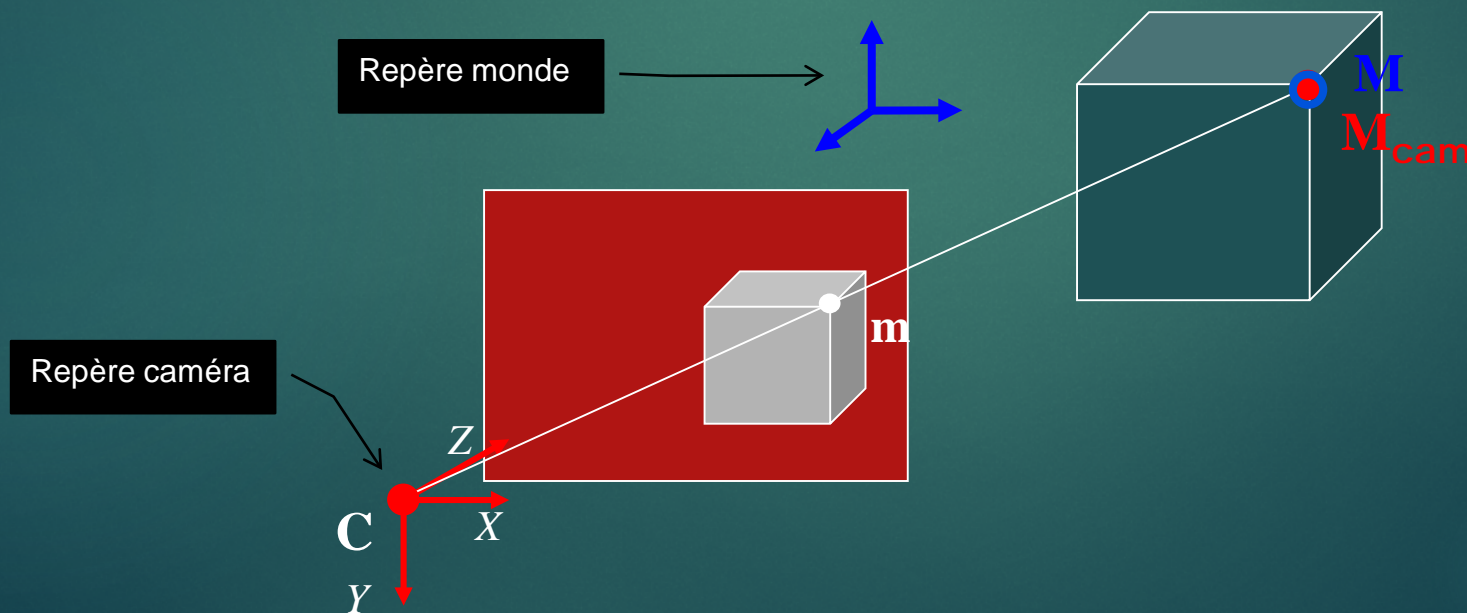
$$K = \begin{pmatrix} \alpha_u & 0 & u_0 \\ 0 & \alpha_v & v_0 \\ 0 & 0 & 1 \end{pmatrix}$$

Le nombre de paramètres peut être réduit sous certaines hypothèses :

- (u_0, v_0) est parfois pris au centre de l'image
- $\alpha_u = \alpha_v$ suppose que les pixels sont carrés

Passage du repère monde au repère caméra

- ▶ La projection dans le plan image considère des coordonnées 3D **exprimées dans le repère caméra**
- ▶ Les coordonnées des points de la scène sont exprimées dans un repère arbitraire, appelé « repère monde »



Passage du repère monde au repère caméra

Il s'agit d'un changement de repère correspondant à une **transformation rigide** de \mathbb{R}^3 (rotation + translation) :

$$\mathbf{M}_{\text{cam}} = \mathbf{RM} + \mathbf{T}$$

où :

R est une matrice de rotation de taille 3x3 et
T est un vecteur de taille 3

$$\mathbf{M}_{\text{cam}} = \mathbf{RM} + \mathbf{T} \rightarrow \begin{pmatrix} X_{\text{cam}} \\ Y_{\text{cam}} \\ Z_{\text{cam}} \end{pmatrix} = \mathbf{R} \begin{pmatrix} X \\ Y \\ Z \end{pmatrix} + \mathbf{T} \rightarrow \begin{pmatrix} X_{\text{cam}} \\ Y_{\text{cam}} \\ Z_{\text{cam}} \end{pmatrix} = (\mathbf{R} \mid \mathbf{T}) \begin{pmatrix} X \\ Y \\ Z \\ 1 \end{pmatrix} \rightarrow \mathbf{M}_{\text{cam}} = (\mathbf{R} \mid \mathbf{T}) \tilde{\mathbf{M}}$$

$\tilde{\mathbf{M}}$ (représente le point M en coordonnées homogènes)

$(\mathbf{R} \mid \mathbf{T})$ est une matrice 3x4

La matrice de calibration externe

26

Géométrie de la réalité augmentée
12/01/2016

La matrice

$$(\mathbf{R} | \mathbf{T}) = \begin{pmatrix} \mathbf{R}_{11} & \mathbf{R}_{13} & \mathbf{R}_{13} & \mathbf{T}_1 \\ \mathbf{R}_{21} & \mathbf{R}_{22} & \mathbf{R}_{23} & \mathbf{T}_2 \\ \mathbf{R}_{31} & \mathbf{R}_{32} & \mathbf{R}_{33} & \mathbf{T}_3 \end{pmatrix}$$

est appelée "matrice de calibration externe" ou "matrice de calibration extrinsèque" ou "matrice des paramètres extrinsèques"

Elle peut être paramétrée par 6 valeurs : 3 pour la rotation (angles d'Euler, ...), 3 pour la translation

La matrice de projection

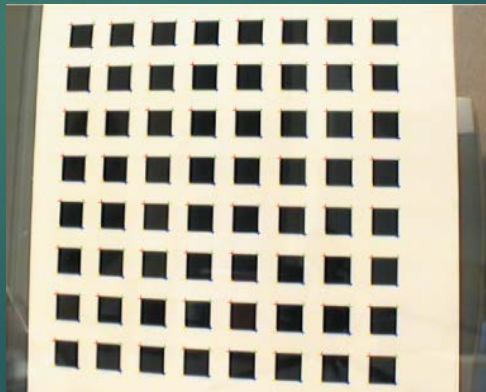
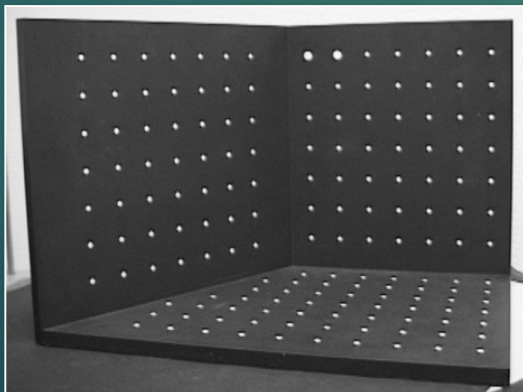
En composant la projection et le changement de repère on obtient :

$$\begin{aligned}
 \begin{pmatrix} u \\ v \\ w \end{pmatrix} &= \begin{pmatrix} k_u f & 0 & u_0 \\ 0 & k_v f & v_0 \\ 0 & 0 & 1 \end{pmatrix} \begin{pmatrix} \mathbf{R}_{11} & \mathbf{R}_{13} & \mathbf{R}_{13} & \mathbf{T}_1 \\ \mathbf{R}_{21} & \mathbf{R}_{22} & \mathbf{R}_{23} & \mathbf{T}_2 \\ \mathbf{R}_{31} & \mathbf{R}_{32} & \mathbf{R}_{33} & \mathbf{T}_3 \end{pmatrix} \begin{pmatrix} X \\ Y \\ Z \\ 1 \end{pmatrix} \\
 &= \underbrace{\begin{pmatrix} P_{11} & P_{12} & P_{13} & P_{14} \\ P_{21} & P_{22} & P_{23} & P_{24} \\ P_{31} & P_{32} & P_{33} & P_{34} \end{pmatrix}}_{\mathbf{P}} \begin{pmatrix} X \\ Y \\ Z \\ 1 \end{pmatrix}
 \end{aligned}$$

$\mathbf{P} = \mathbf{K}(\mathbf{R} \mid \mathbf{T})$ est appelée **matrice de projection**

Calibration de la caméra

- ▶ La matrice de projection $P = K(R \mid T)$ comporte une partie intrinsèque (K) et une partie extrinsèque (R et T)
- ▶ Les paramètres intrinsèques de la caméra restent généralement fixes pour un dispositif de RA donné
- ▶ Ils sont calculés préalablement à l'utilisation du système de RA, au cours d'une phase dite de **calibration de la caméra**
- ▶ Utilisation d'une mire de calibration ou d'un damier imprimé



L'algorithme de calibration DLT

29

Chaque correspondance donne
lieu à deux équations :

$$\tilde{\mathbf{m}}_i = \mathbf{P}\tilde{\mathbf{M}}_i$$

$$\begin{cases} u_i = \frac{P_{11}X_i + P_{12}Y_i + P_{13}Z_i + P_{14}}{P_{31}X_i + P_{32}Y_i + P_{33}Z_i + P_{34}} \\ v_i = \frac{P_{21}X_i + P_{22}Y_i + P_{23}Z_i + P_{24}}{P_{31}X_i + P_{32}Y_i + P_{33}Z_i + P_{34}} \end{cases}$$

$$\begin{cases} P_{11}X_i + P_{12}Y_i + P_{13}Z_i + P_{14} - P_{31}X_iu_i - P_{32}Y_iu_i - P_{33}Z_iu_i - P_{34}u_i = 0 \\ P_{21}X_i + P_{22}Y_i + P_{23}Z_i + P_{24} - P_{31}X_iv_i - P_{32}Y_iv_i - P_{33}Z_iv_i - P_{34}v_i = 0 \end{cases}$$

$$\begin{pmatrix} X_i & Y_i & Z_i & 1 & 0 & 0 & 0 & -X_iu_i & -Y_iu_i & -Z_iu_i & -u_i \\ 0 & 0 & 0 & 0 & X_i & Y_i & Z_i & 1 & -X_iv_i & -Y_iv_i & -Z_iv_i & -v_i \end{pmatrix} \begin{pmatrix} P_{11} \\ \vdots \\ P_{34} \end{pmatrix} = \mathbf{0}$$

- ▶ 11 coefficients à estimer
- ▶ Chaque correspondance 3D-2D donne 2 équations
→ **6 correspondances** doivent être connues
- ▶ En pratique, un plus grand nombre de correspondances sont utilisées

► Extraction de la matrice K

On considère la matrice \mathbf{P}_3 constituée des 3 premières colonnes de \mathbf{P} :

$$\mathbf{P} = (\mathbf{P}_3 \mid \mathbf{c}_4)$$

$$\mathbf{P}_3 = \mathbf{K}\mathbf{R}$$

On calcule

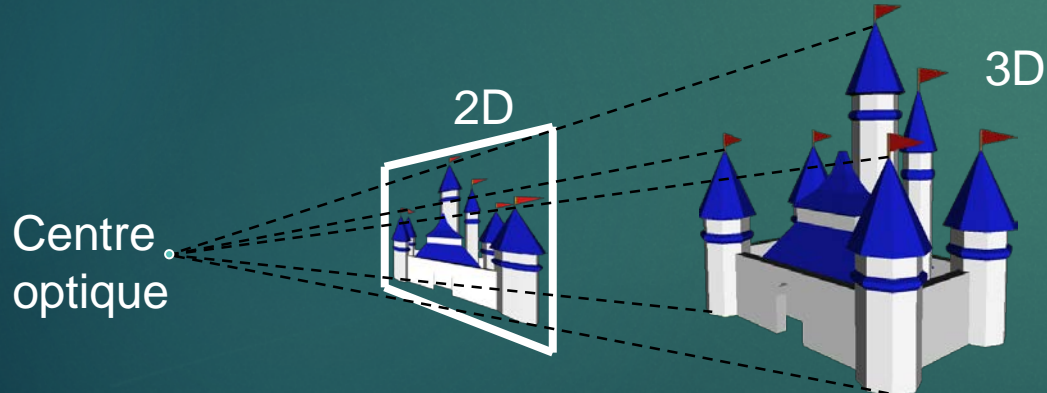
$$\mathbf{P}_3\mathbf{P}_3^T = (\mathbf{K}\mathbf{R})(\mathbf{K}\mathbf{R})^T = \mathbf{K}\mathbf{R}\mathbf{R}^T\mathbf{K}^T = \mathbf{K}\mathbf{K}^T$$

\mathbf{K} étant une matrice triangulaire (supérieure), elle peut être calculée en utilisant la méthode de factorisation de Cholesky

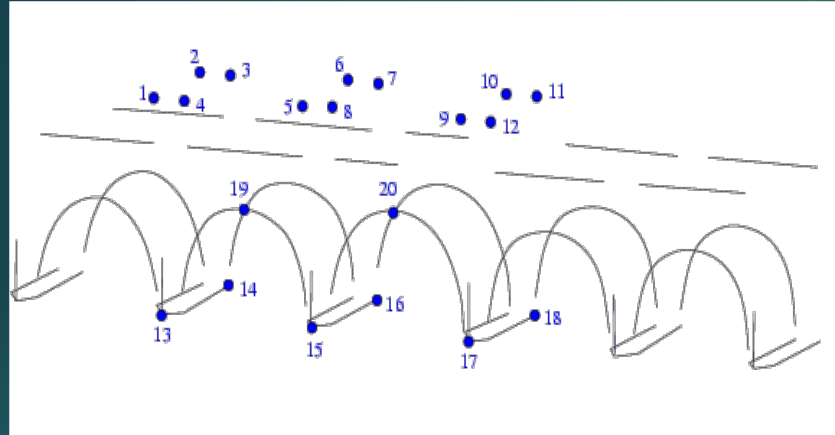
La matrice $\omega = (\mathbf{K}\mathbf{K}^T)^{-1}$ est appellée **image de la conique absolue**

Calcul du point de vue

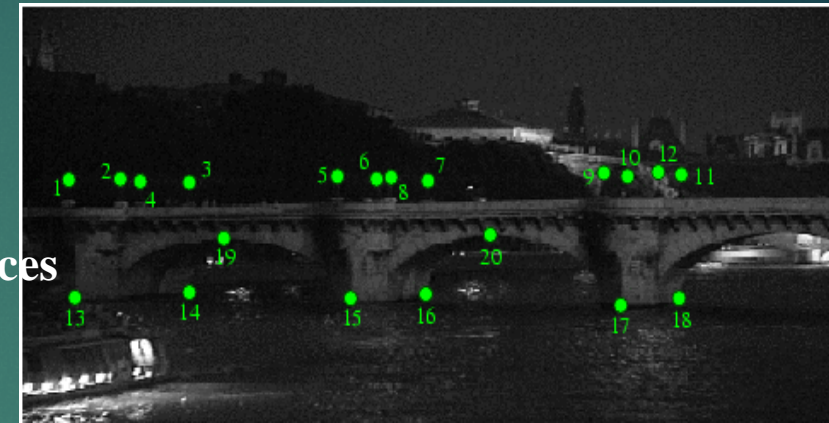
- ▶ Nous considérerons deux méthodes de positionnement basé image :
 - ▶ Méthode 1 : Utilisation de points du modèle identifiés dans l'image
 - ▶ Méthode 2 : Utilisation de contraintes entre des points de fuite de l'image



Méthode 1



Correspondances
3D/2D

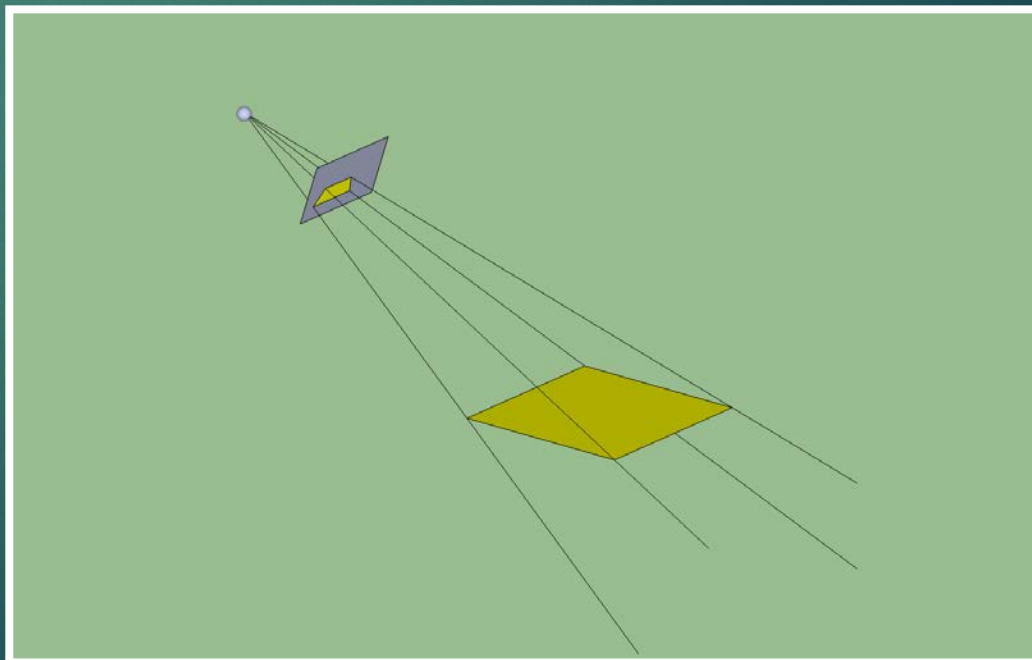
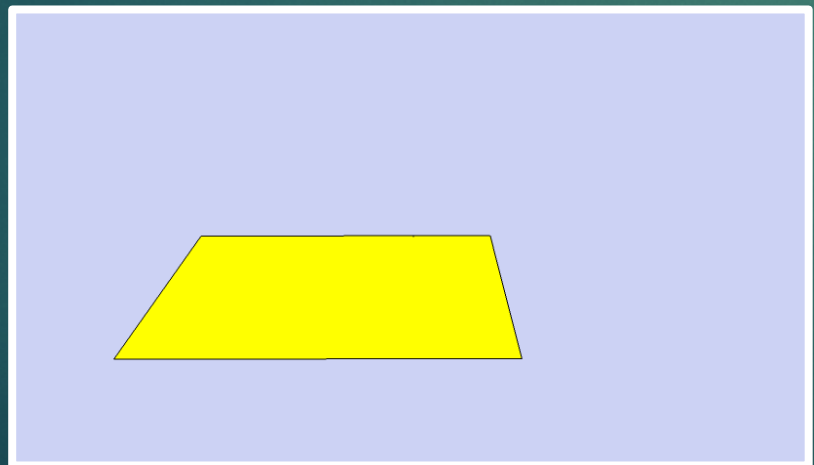


Recalage



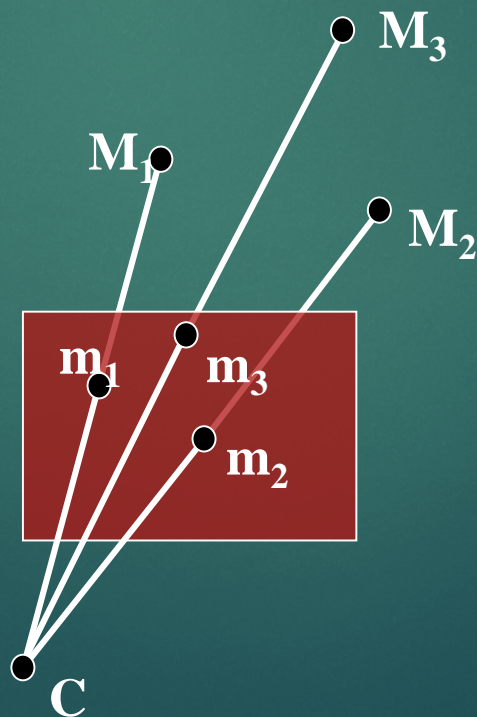
Illustration géométrique

- ▶ Les points du modèle correspondant aux points de l'image doivent se trouver sur les "rayons inverses" de l'image
- ▶ Un seul point de vue (orientation + position) est possible lorsque **4 correspondances** de points sont connues

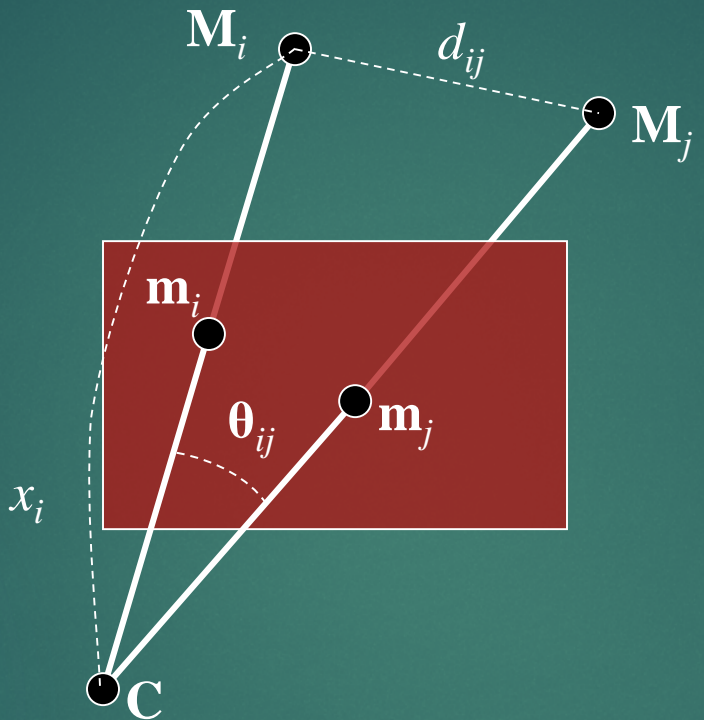


Le problème PnP

- ▶ PnP (Perspective-n-Points) : estimation de l'orientation \mathbf{R} et de la position \mathbf{T} du repère monde par rapport au repère caméra, à partir de n correspondances de points 3D/2D
- ▶ P3P : suffisant en théorie mais 4 solutions → ajout de contrainte nécessaire



La méthode P3P



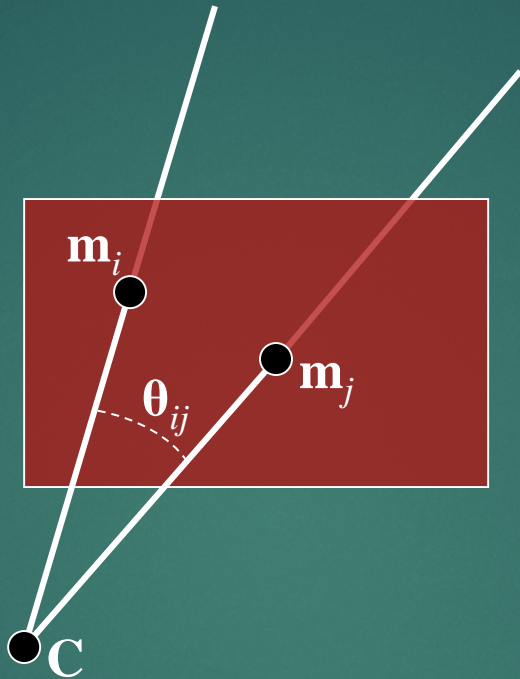
Chaque paire de correspondances $\mathbf{M}_i \leftrightarrow \mathbf{m}_i$ et $\mathbf{M}_j \leftrightarrow \mathbf{m}_j$ donne une contrainte sur les distances (inconnues) $x_i = ||\mathbf{M}_i - \mathbf{C}||$ et $x_j = ||\mathbf{M}_j - \mathbf{C}||$:

$$d_{ij}^2 = x_i^2 + x_j^2 - 2 x_i x_j \cos \theta_{ij}$$

$d_{ij} = ||\mathbf{M}_i - \mathbf{M}_j||$ est la distance (connue) entre \mathbf{M}_i et \mathbf{M}_j

θ_{ij} est l'angle (connu) entre (\mathbf{CM}_i) et (\mathbf{CM}_j)

La méthode P3P



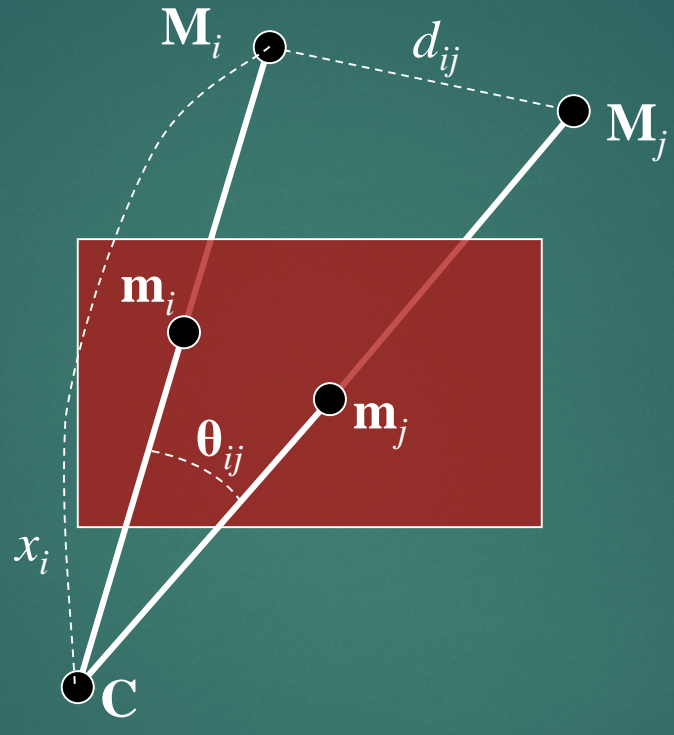
$\cos\theta_{ij}$ dépend uniquement des positions 2D (connues) \mathbf{m}_i et \mathbf{m}_j .

$$\cos \theta_{ij} = \frac{(\overrightarrow{\mathbf{Cm}}_j)^T (\overrightarrow{\mathbf{Cm}}_i)}{\|\overrightarrow{\mathbf{Cm}}_j\| \|\overrightarrow{\mathbf{Cm}}_i\|} = \frac{(\overrightarrow{\mathbf{Cm}}_j)^T (\overrightarrow{\mathbf{Cm}}_i)}{\sqrt{(\overrightarrow{\mathbf{Cm}}_j)^T (\overrightarrow{\mathbf{Cm}}_j)} \sqrt{(\overrightarrow{\mathbf{Cm}}_i)^T (\overrightarrow{\mathbf{Cm}}_i)}}$$

$$\overrightarrow{\mathbf{Cm}}_i = \mathbf{K}^{-1} \mathbf{m}_i$$

$$\cos \theta_{ij} = \frac{\mathbf{m}_j^T \omega \mathbf{m}_i}{(\mathbf{m}_j^T \omega \mathbf{m}_j)^{1/2} (\mathbf{m}_i^T \omega \mathbf{m}_i)^{1/2}} \text{ avec } \omega = (\mathbf{K} \mathbf{K}^T)^{-1} \text{ l'image de la conique absolue}$$

La méthode P3P



Algorithme :

1. Résoudre les distances x_i
2. Calculer les positions \mathbf{M}_i^C des points \mathbf{M}_i dans le repère camera
3. Calculer \mathbf{R} et \mathbf{T} comme la transformation rigide entre les \mathbf{M}_i et les \mathbf{M}_i^C

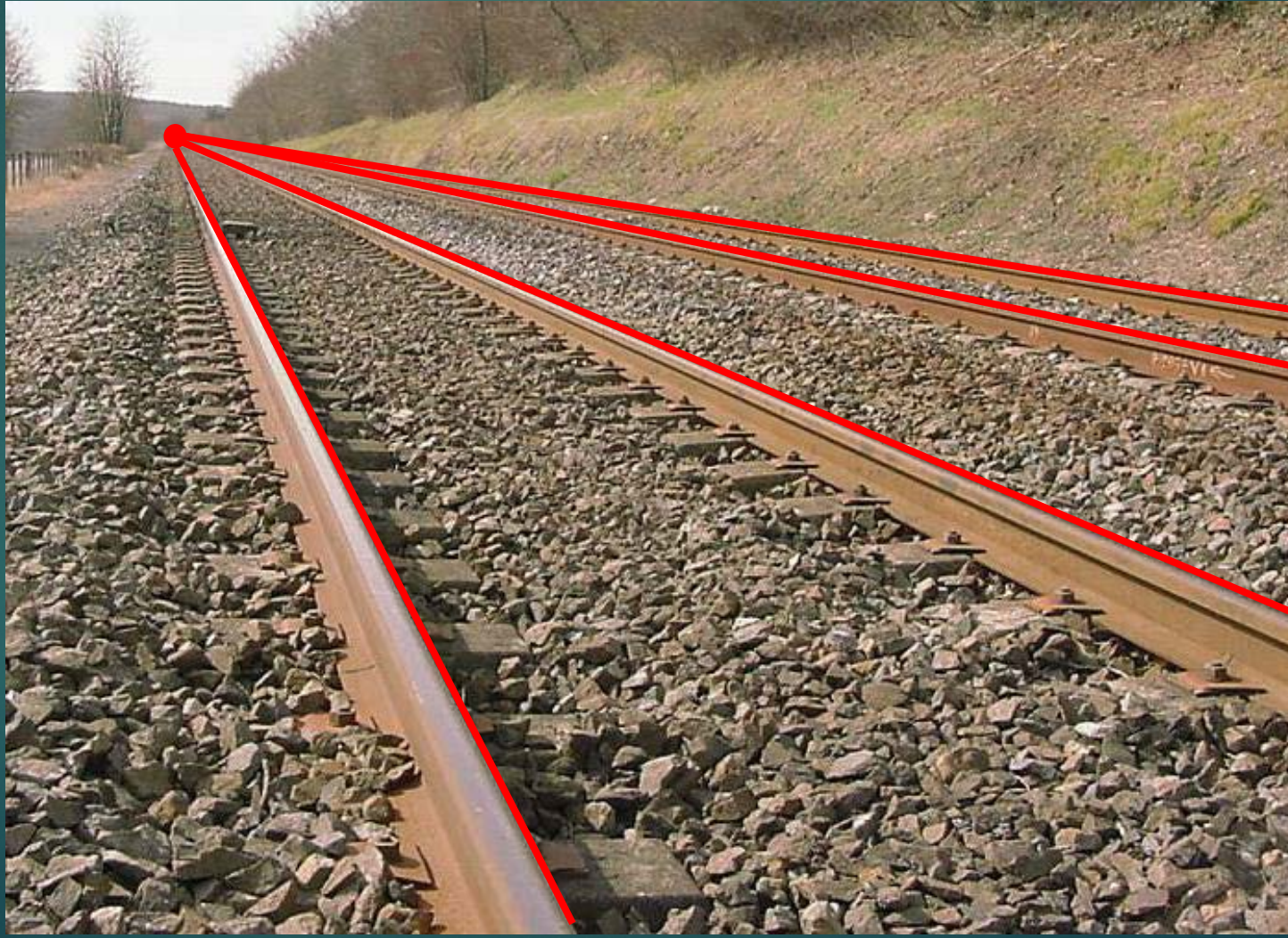
Optimisation non linéaire

- ▶ Les méthodes PnP peuvent manquer de précision, surtout lorsque n est petit
- ▶ Le point de vue est généralement affiné en utilisant une optimisation non linéaire (Gauss-Newton, Levenberg Marquardt, ...) tenant compte de tous les appariements disponibles :

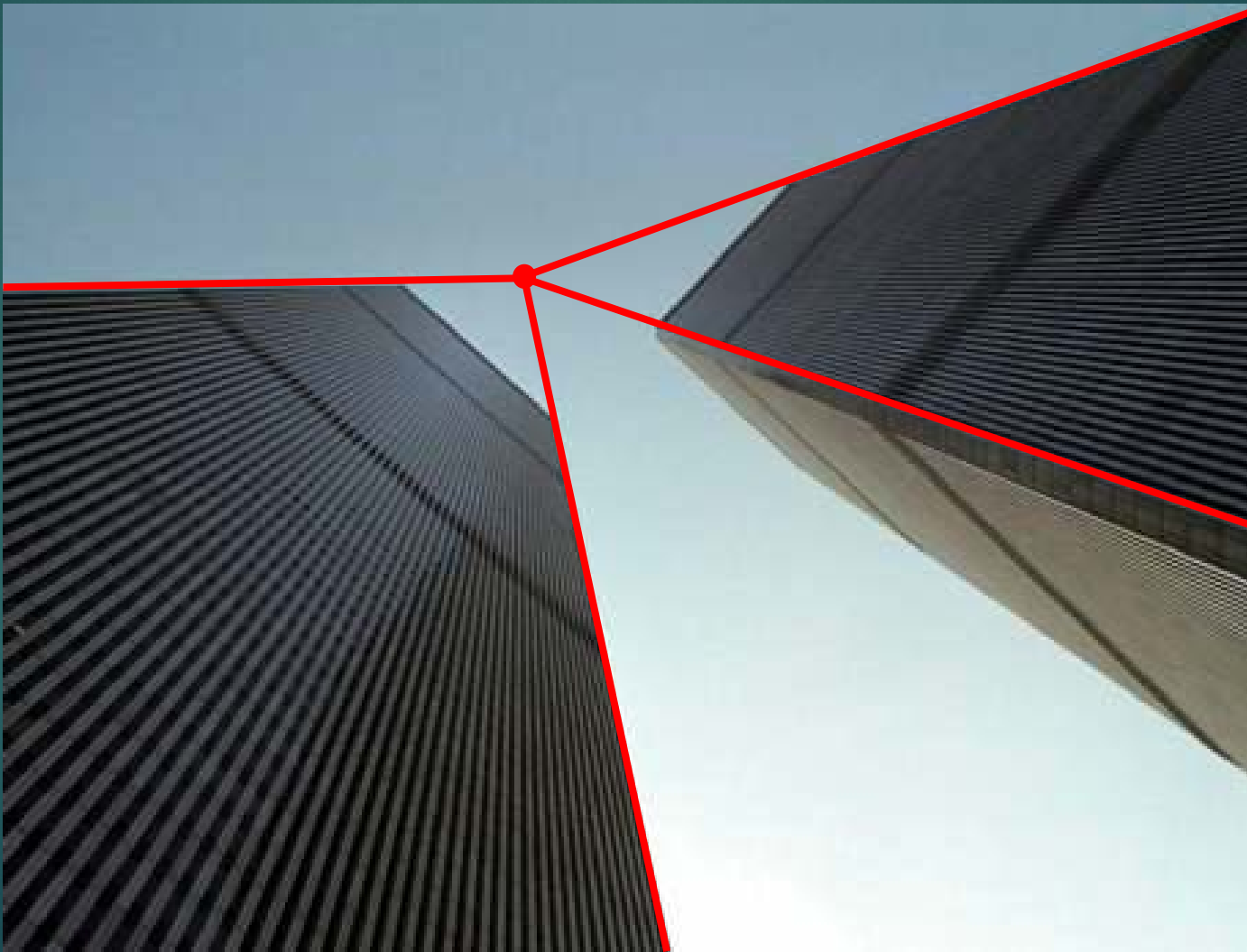
$$\min_{\mathbf{R}, \mathbf{T}} \sum_i \left\| \mathbf{K}[\mathbf{R} \mid \mathbf{T}] \mathbf{M}_i - \mathbf{m}_i \right\|^2$$

- ▶ Intérêts :
 - ▶ Minimisation d'une erreur ayant un sens physique (erreur de reprojeciton, en pixels)
 - ▶ Peut prendre en compte un nombre arbitraire de points

Méthode 2 : utilisation des points de fuite de l'image



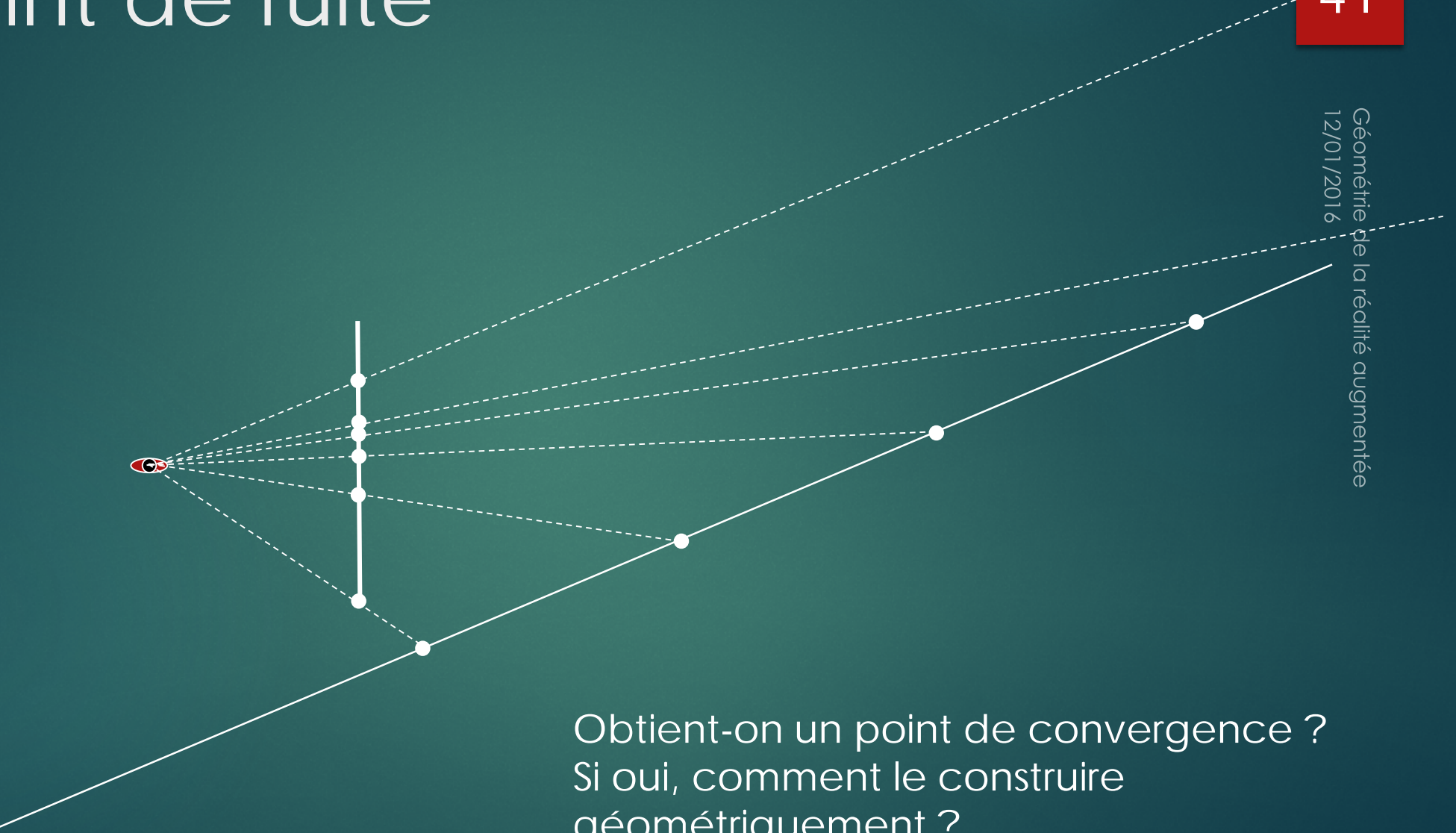
Méthode 2 : utilisation des points de fuite de l'image



Le point de fuite

41

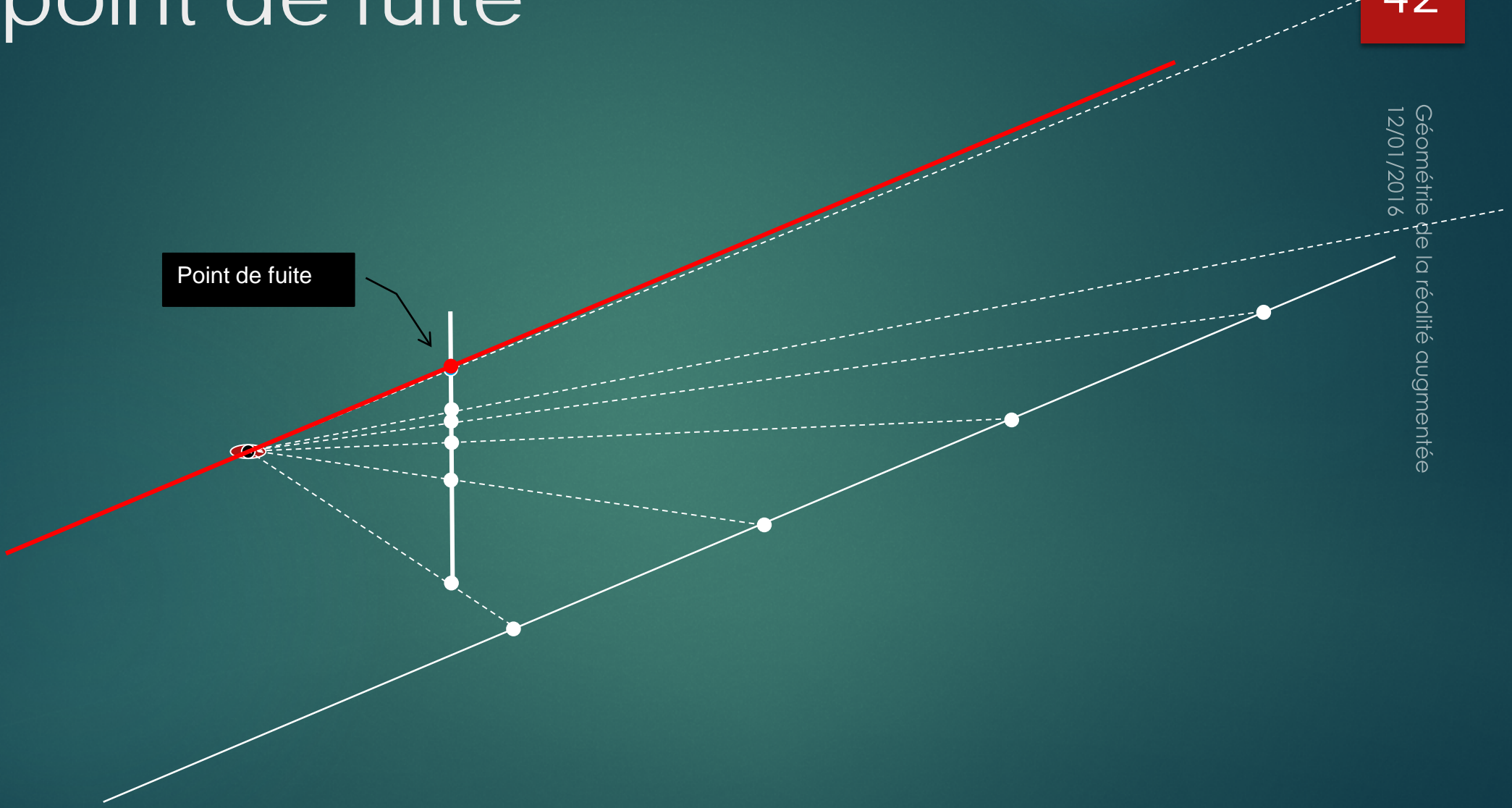
Géométrie de la réalité augmentée
12/01/2016



Le point de fuite

42

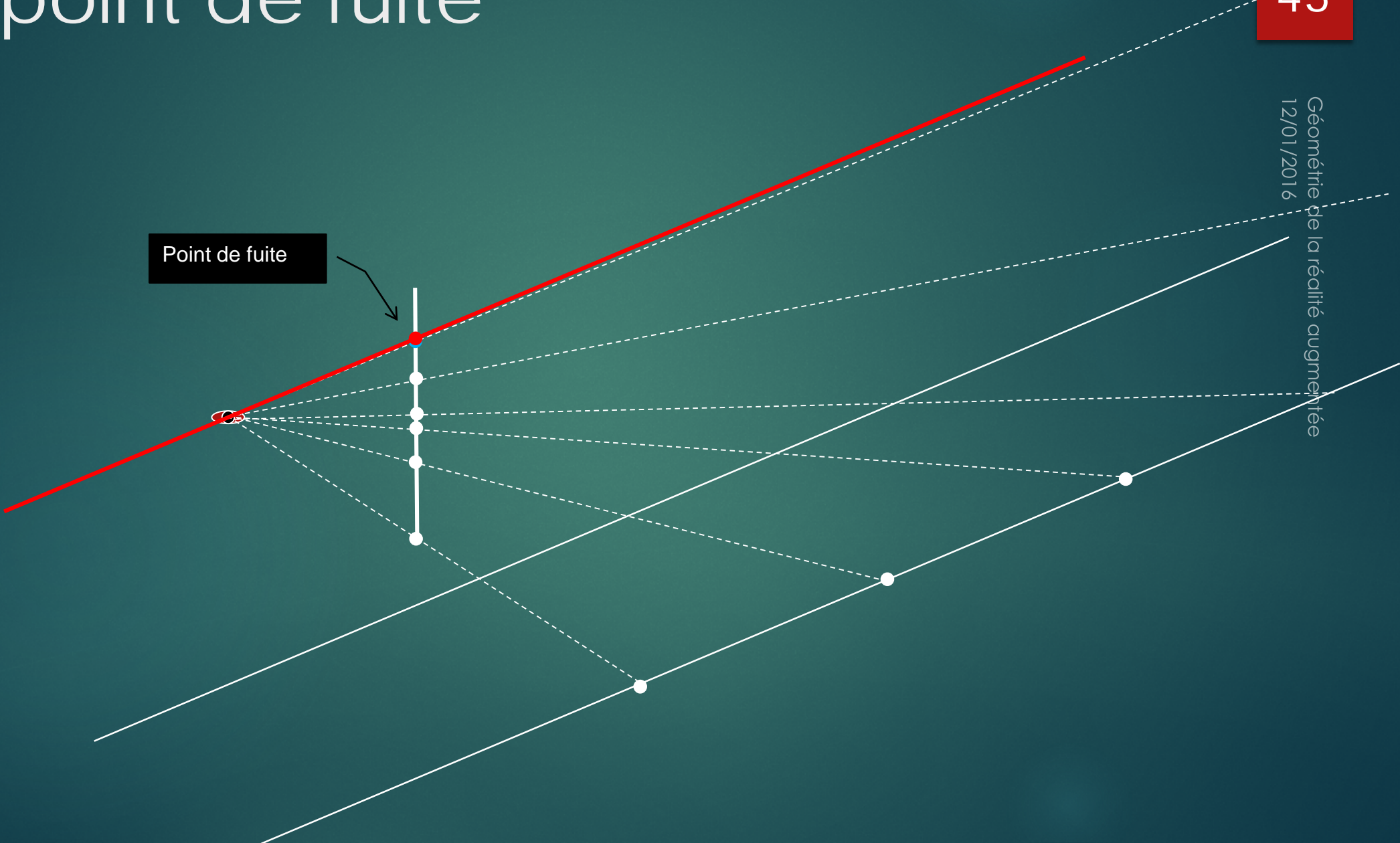
Géométrie de la réalité augmentée
12/01/2016



Le point de fuite

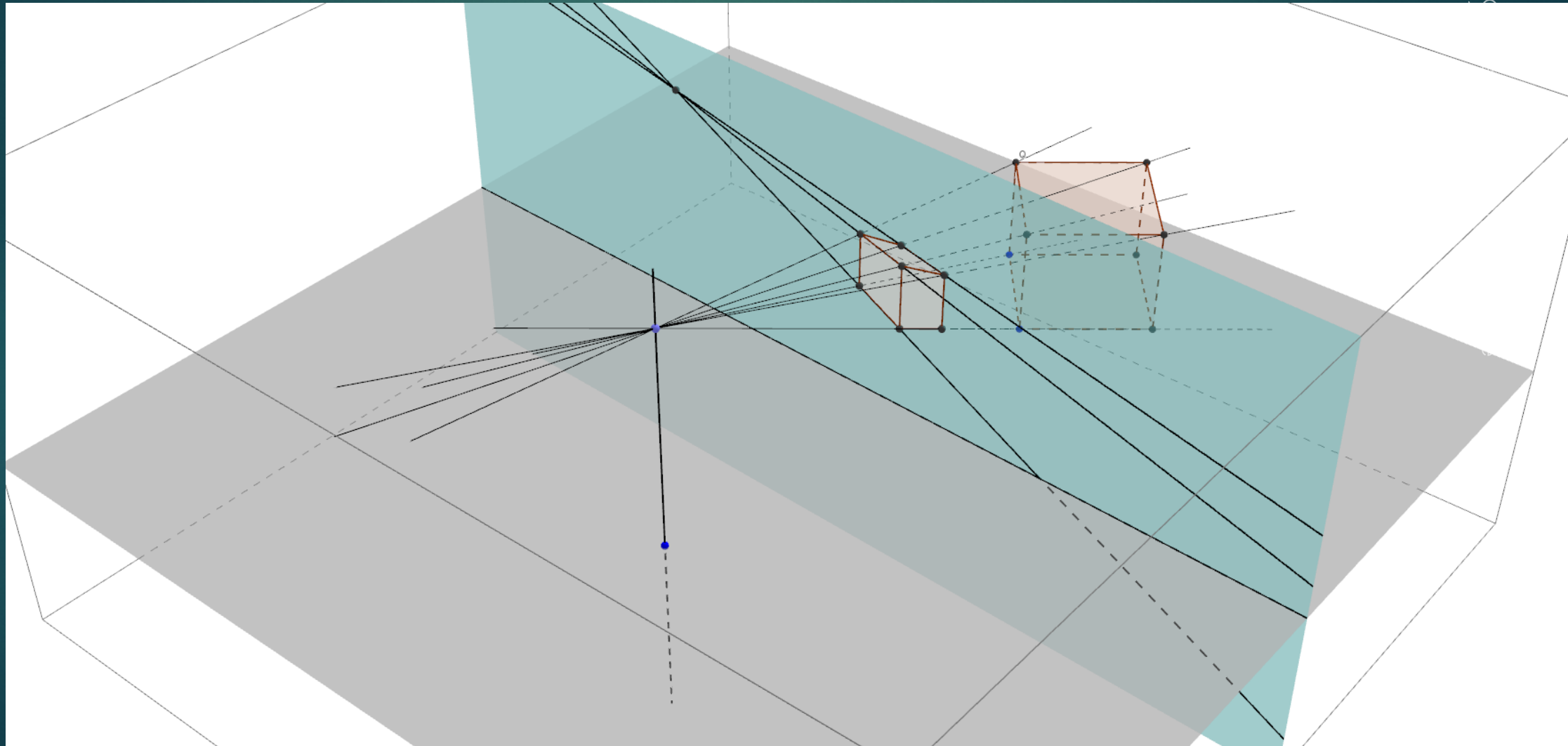
43

Géométrie de la réalité augmentée
12/01/2016



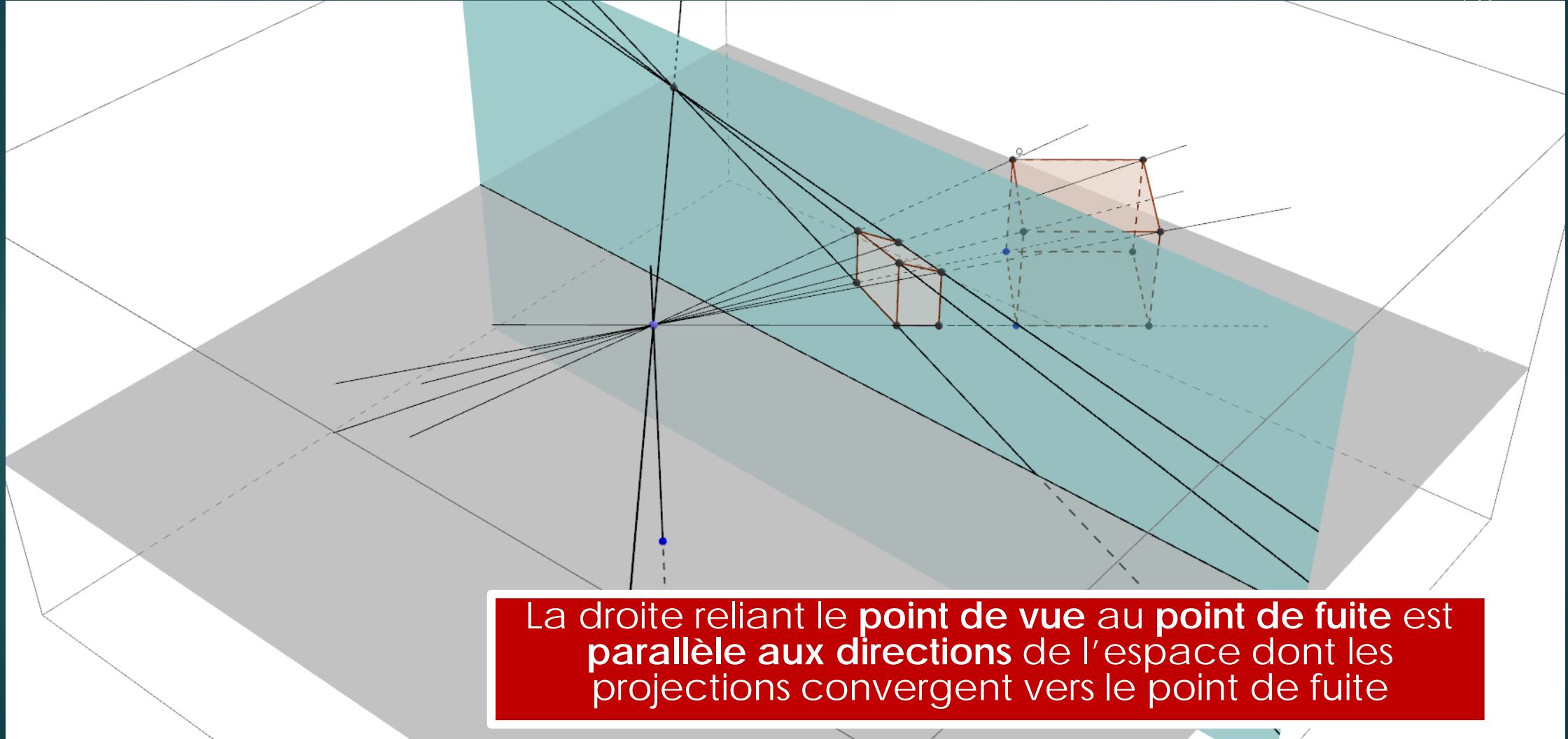
Le point de fuite

44

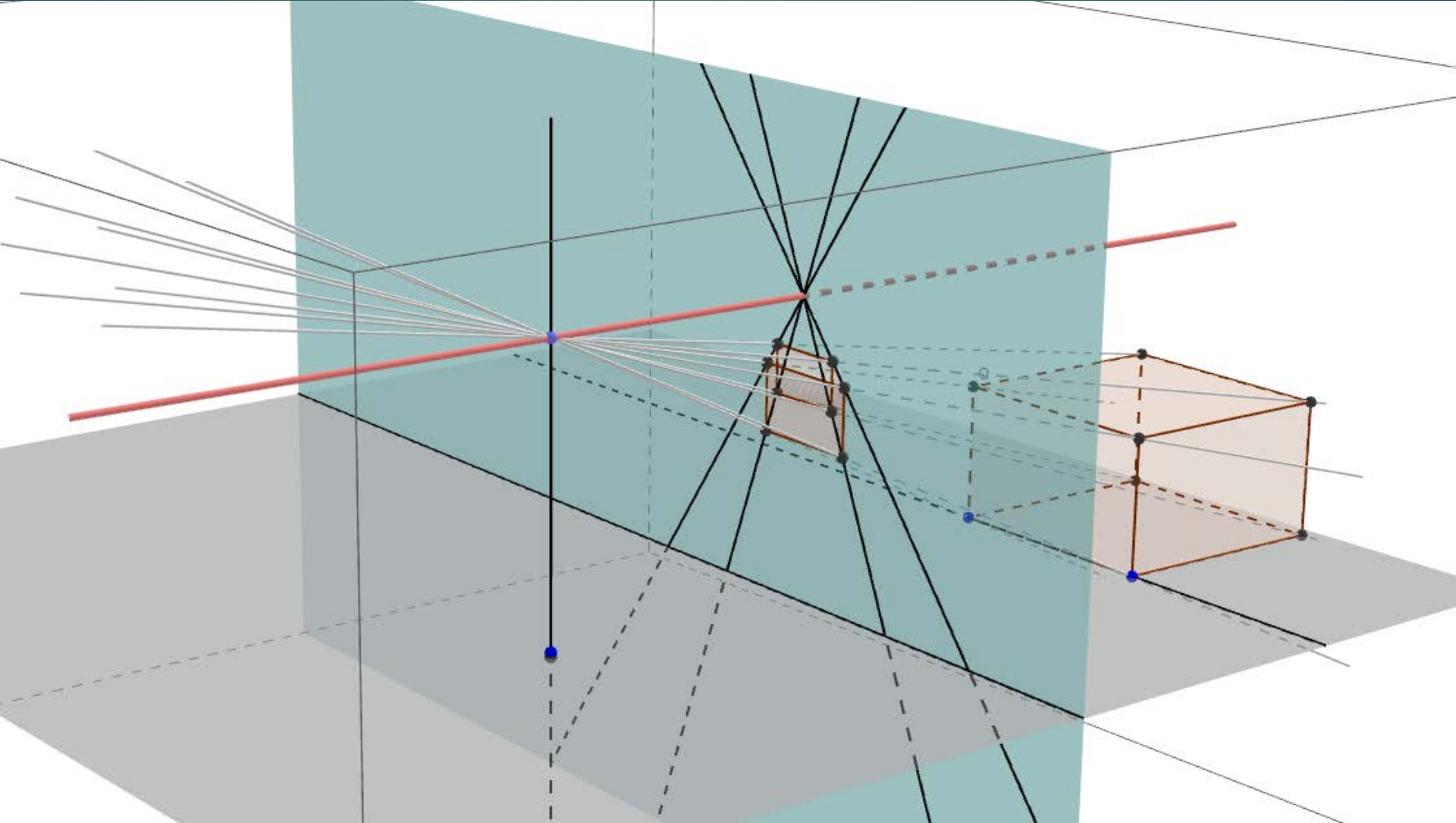


Le point de fuite

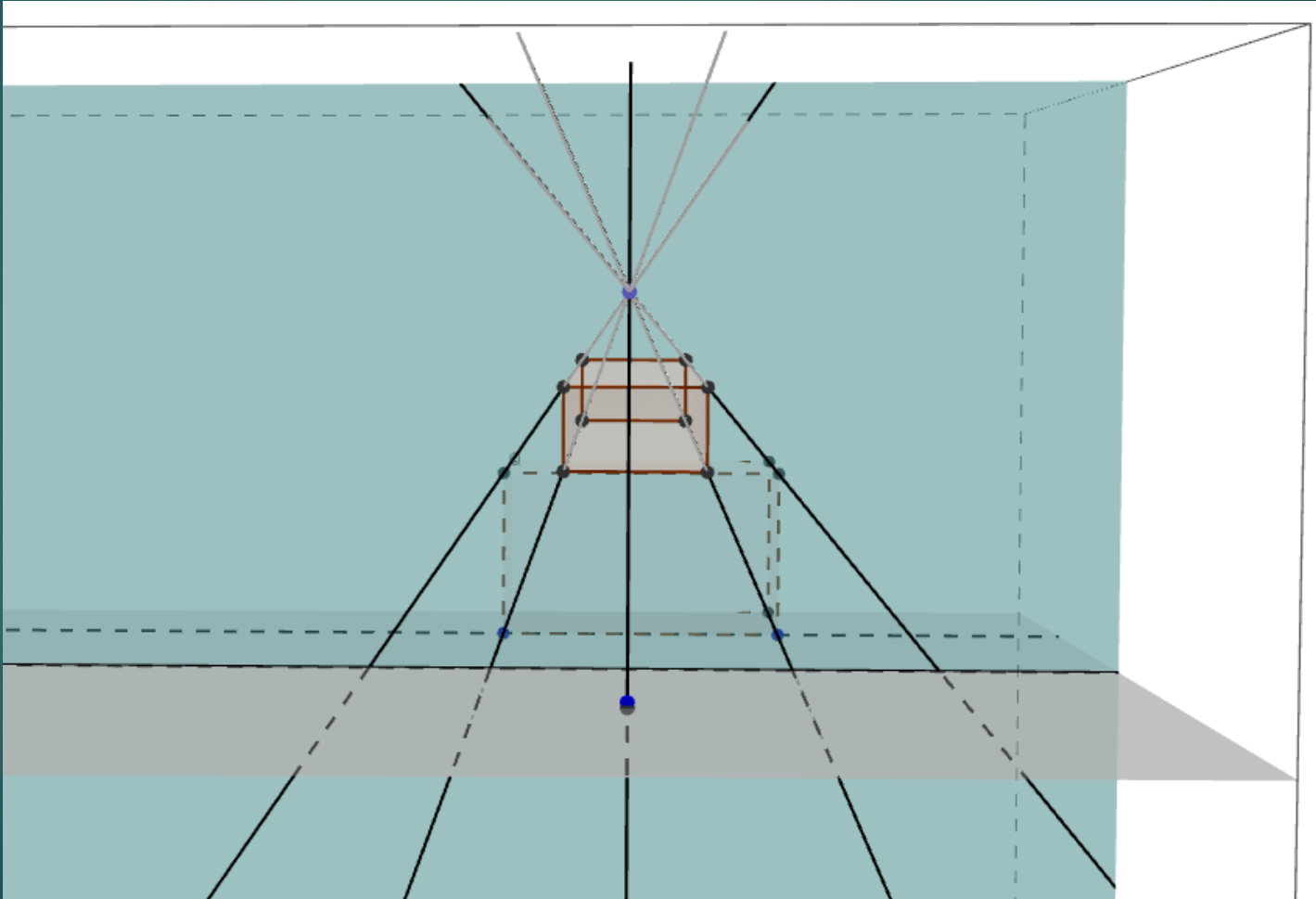
45



Le point de fuite



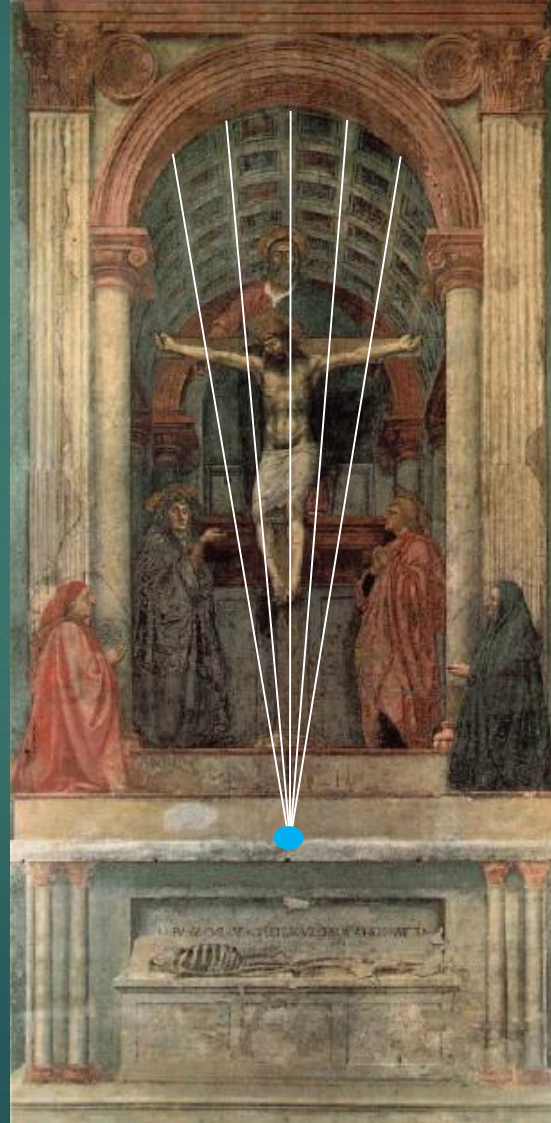
Le point de fuite



Le point de fuite

48

Géométrie de la réalité augmentée
12/01/2016



Masaccio, La Trinité, 1427

Le point de fuite

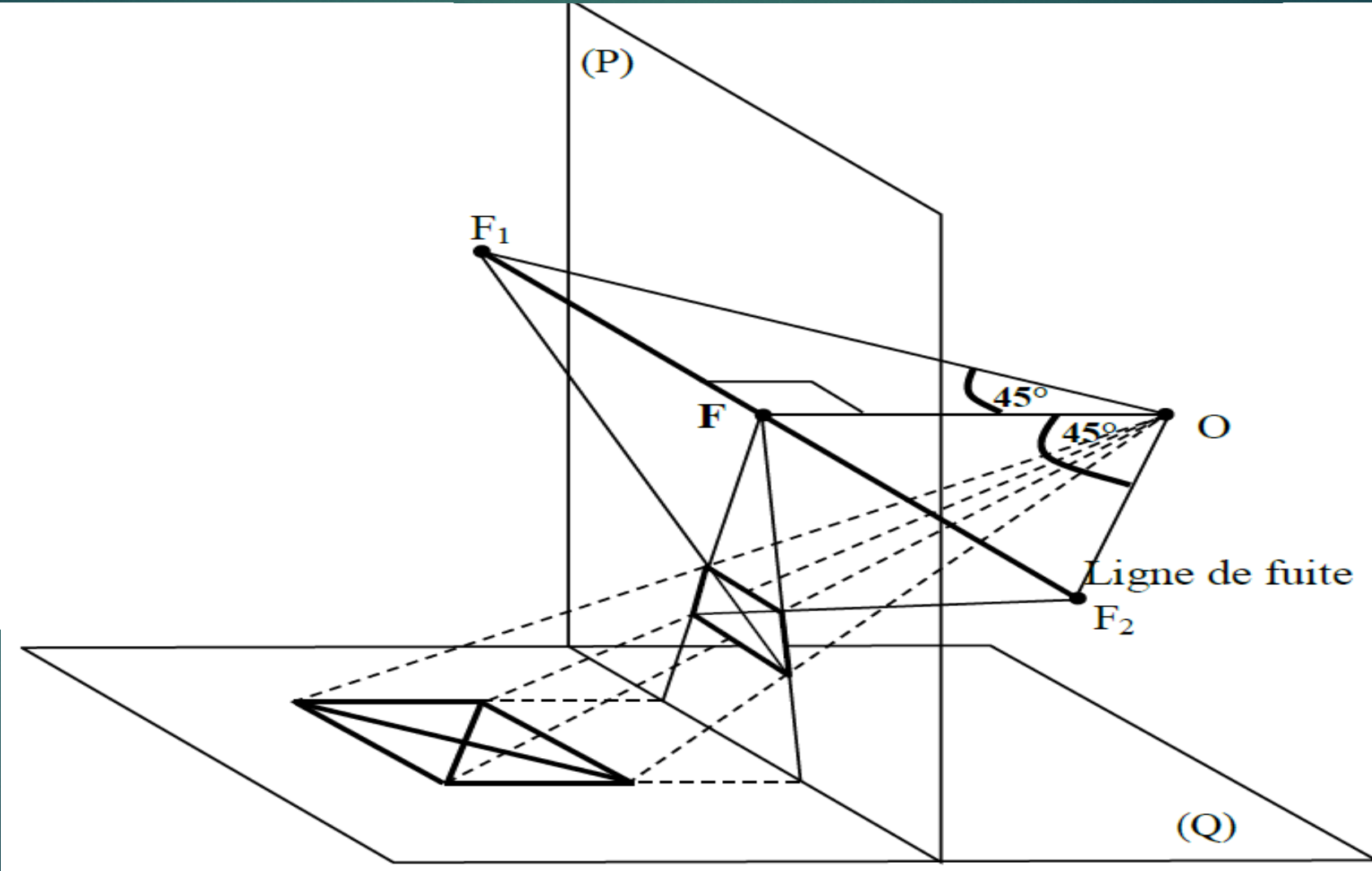
49

Géométrie de la réalité augmentée
12/01/2016



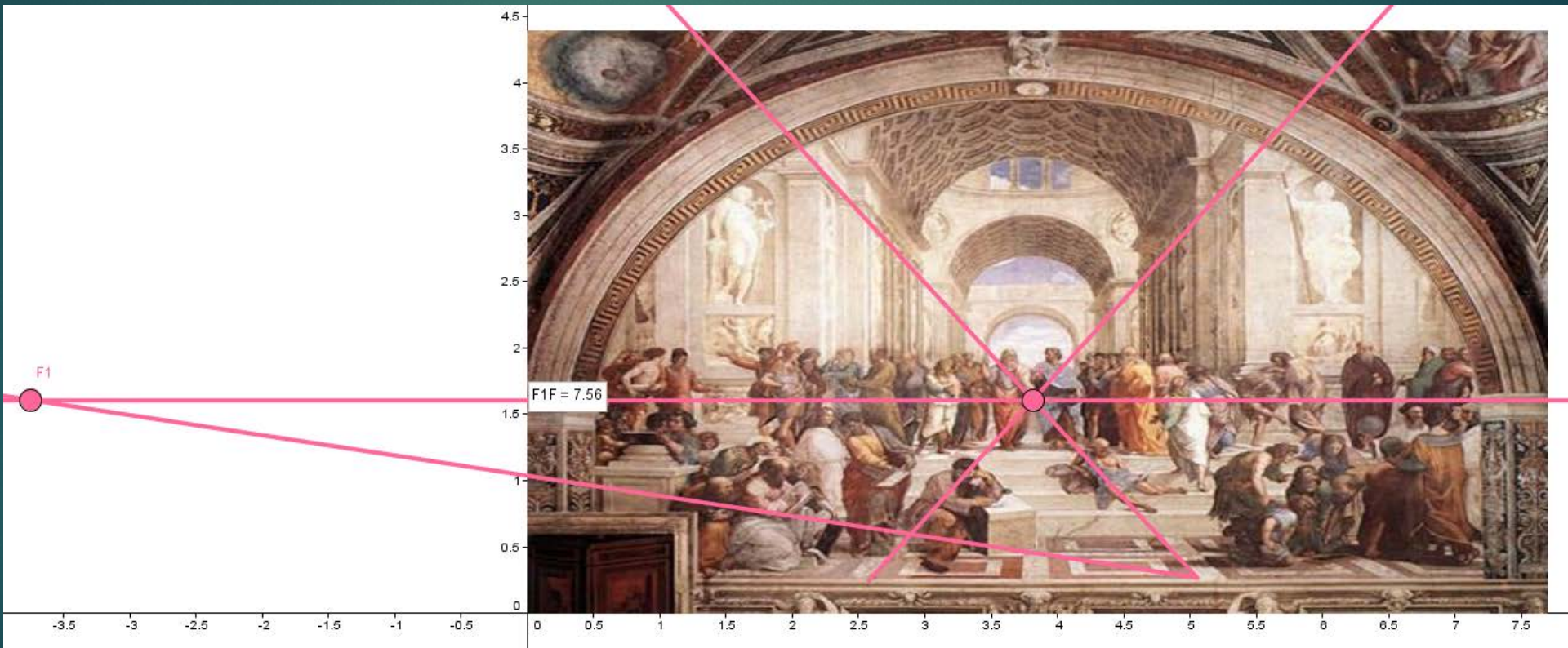
Est-ce un hasard ?
Que peut-on en déduire ?

Calcul du point de vue à partir d'un carré au sol, parallèle au plan de projection



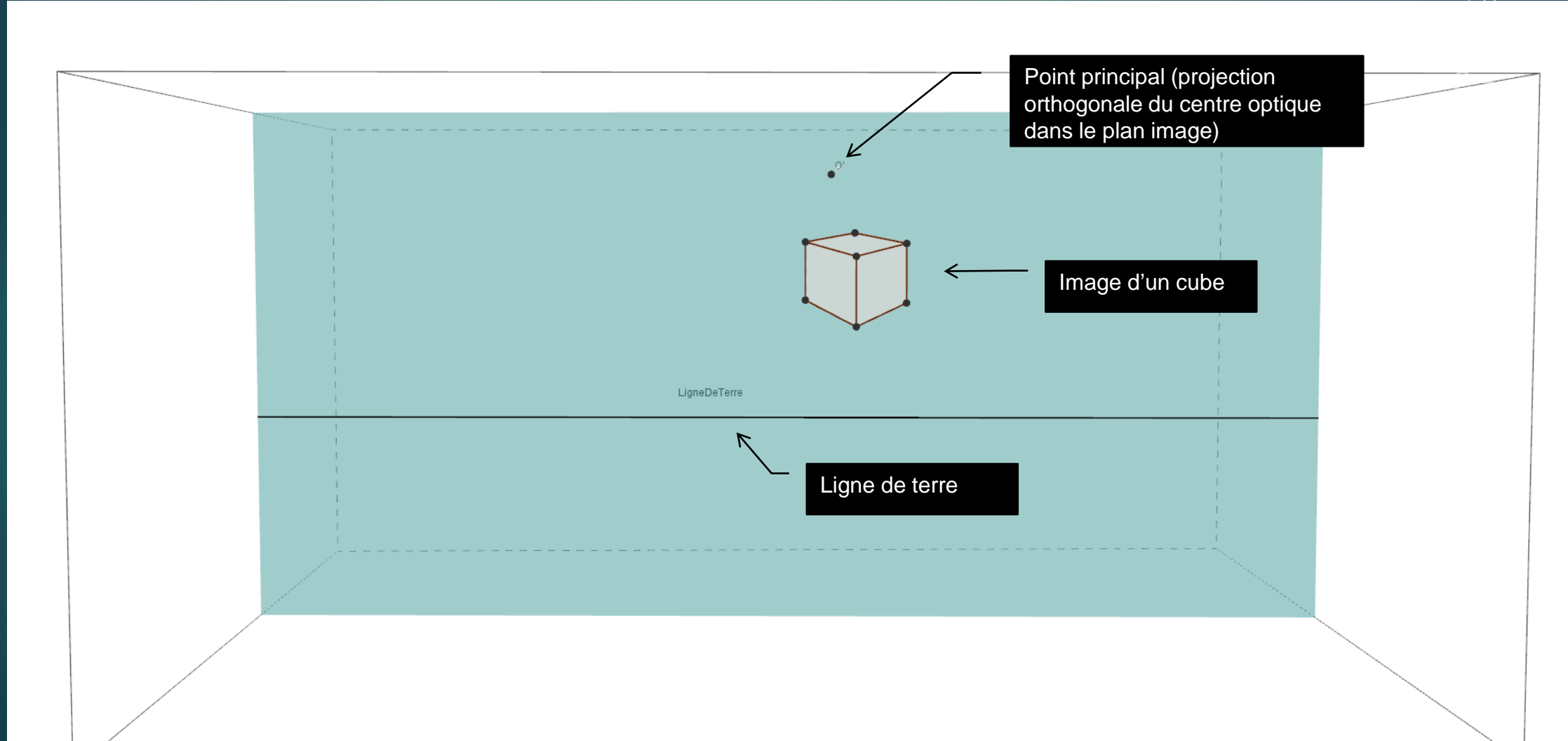
Calcul du point de vue à partir d'un carré au sol, parallèle au plan de projection

Exemple : L'École d'Athènes (Raphaël)



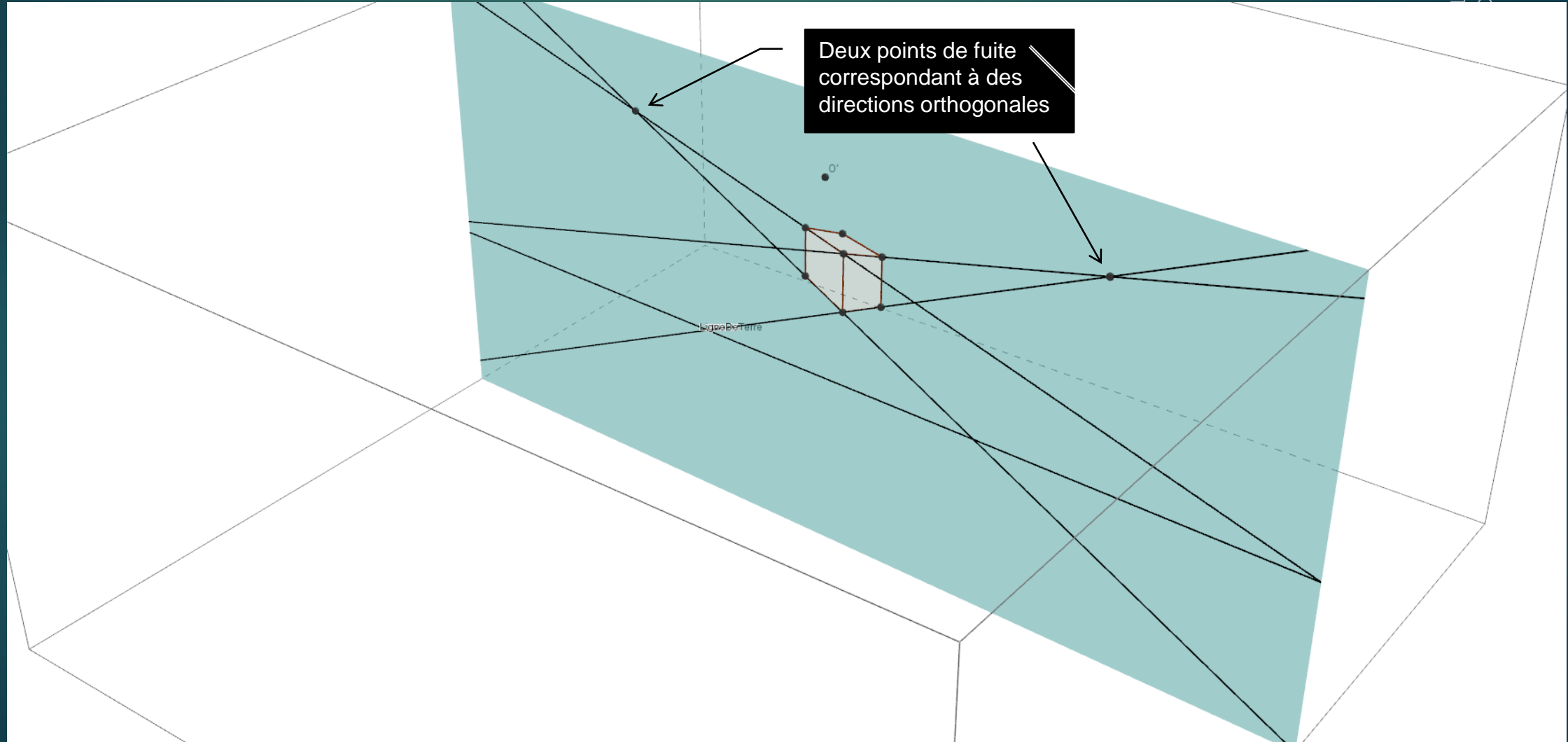
Calcul du point de vue à partir de deux points de fuite horizontaux

52



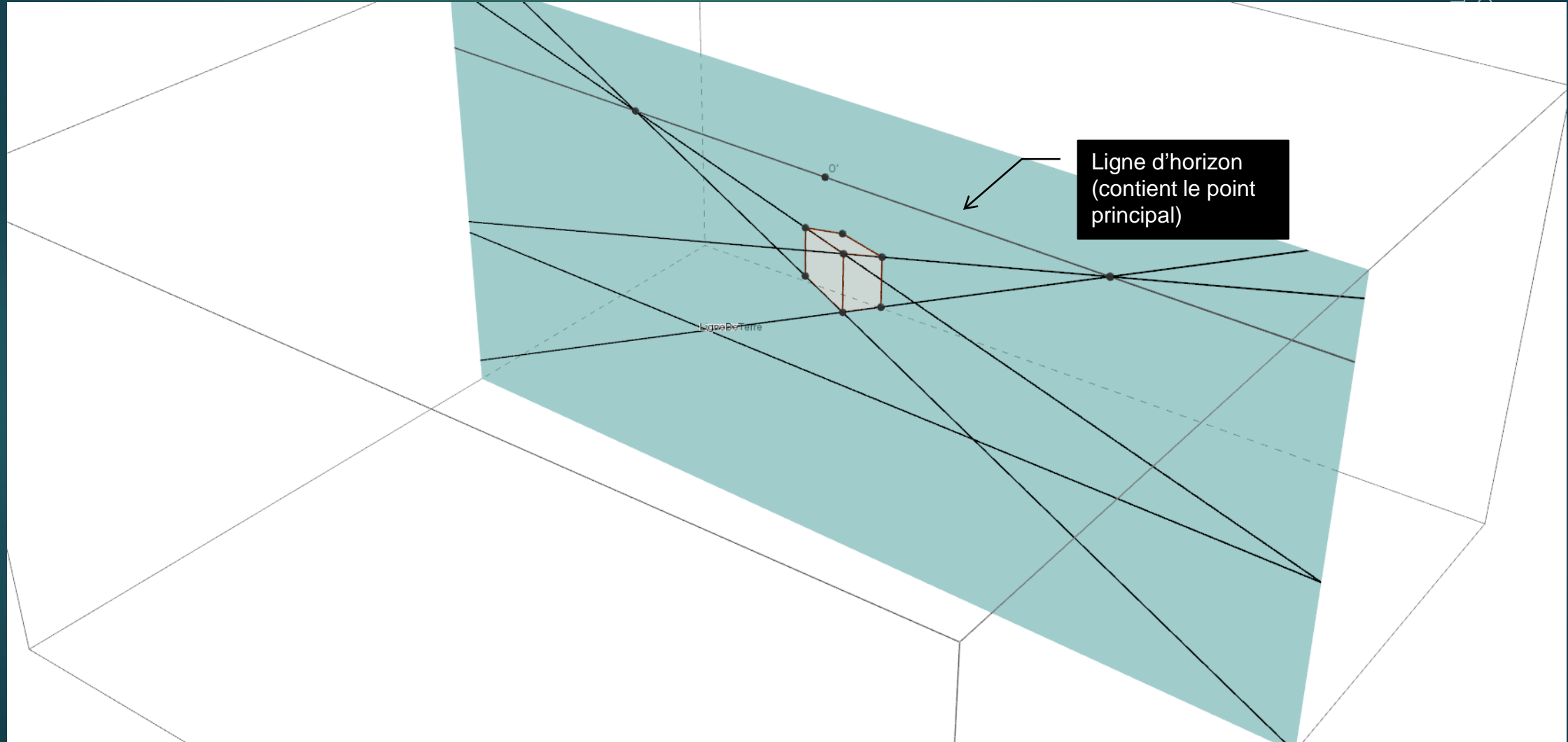
Calcul du point de vue à partir de deux points de fuite horizontaux

53



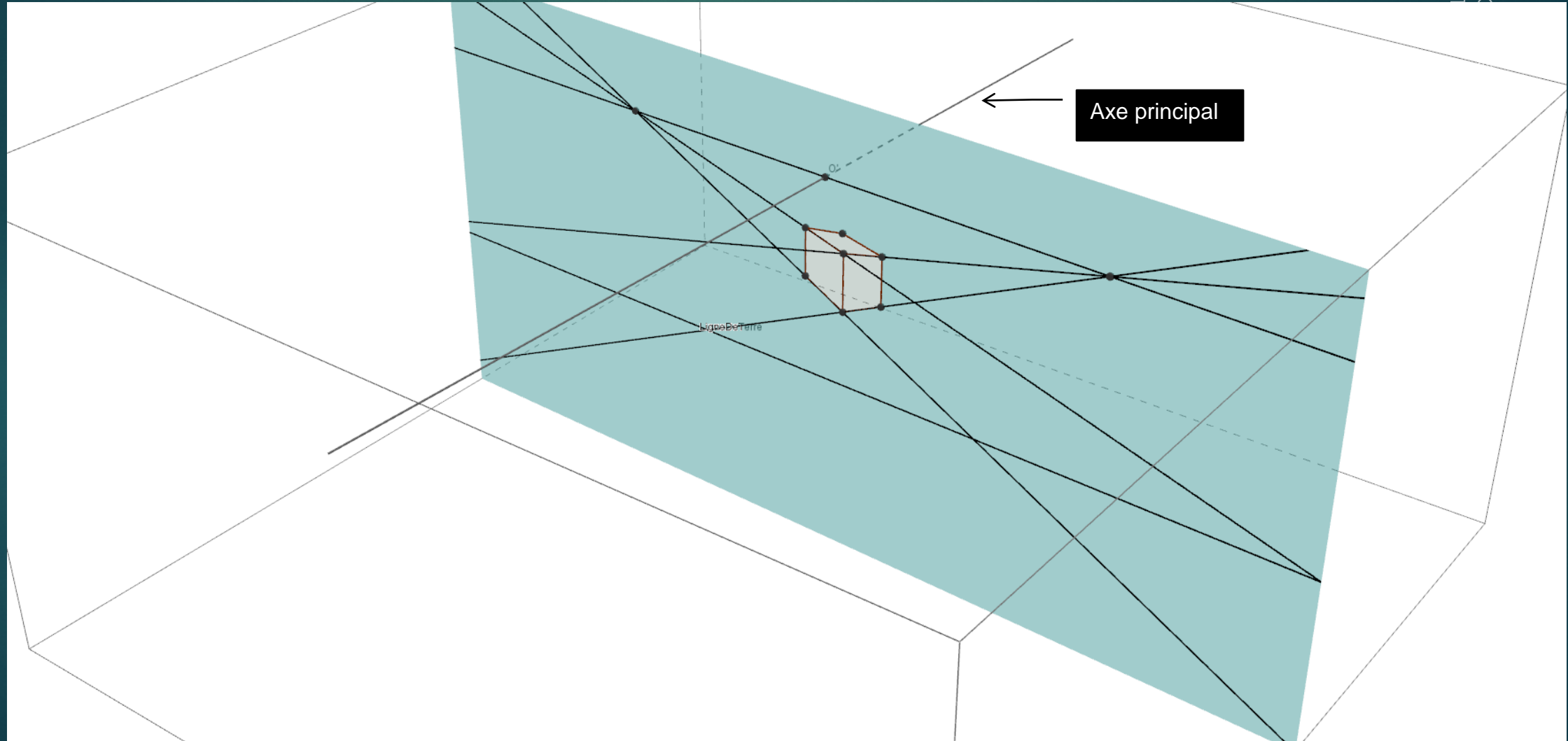
Calcul du point de vue à partir de deux points de fuite horizontaux

54



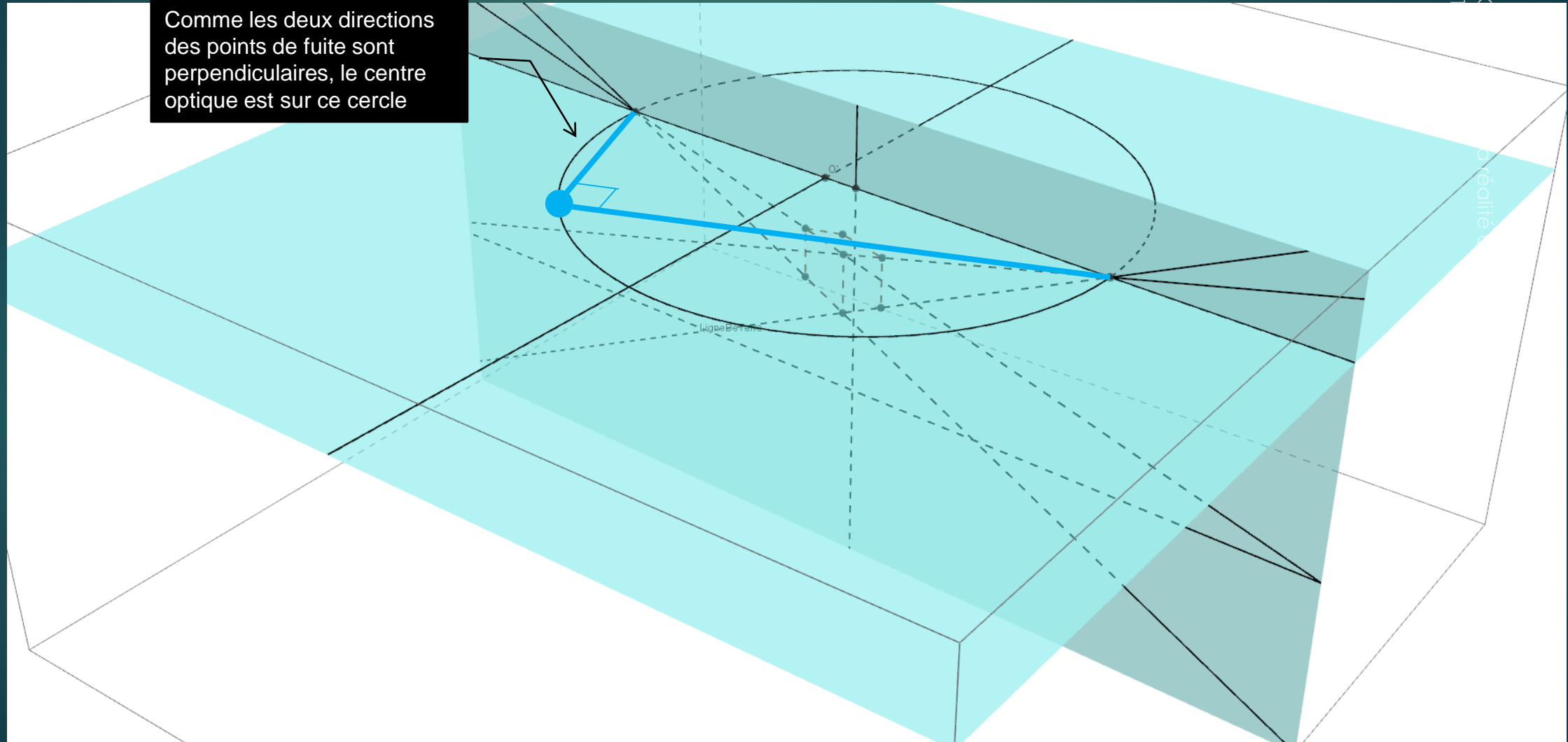
Calcul du point de vue à partir de deux points de fuite horizontaux

55



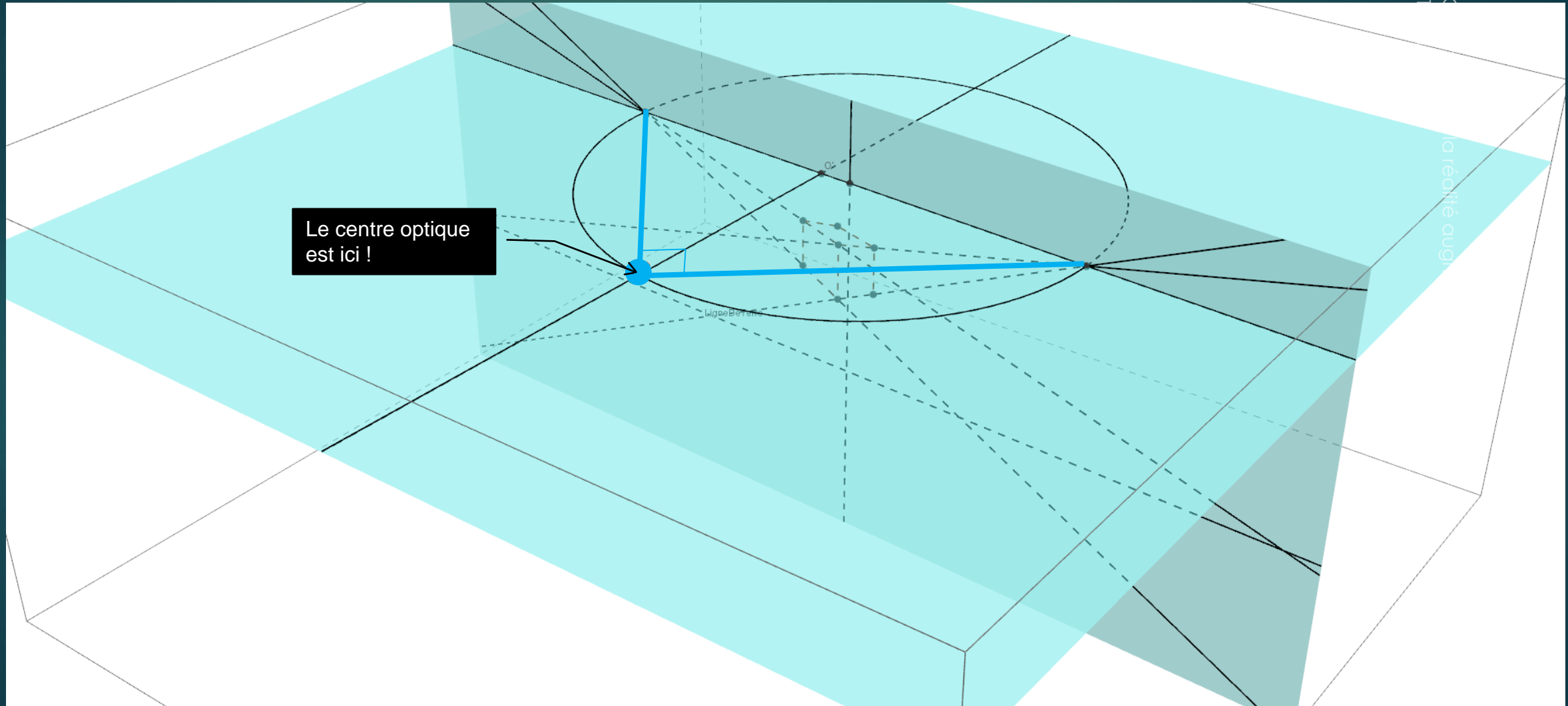
Calcul du point de vue à partir de deux points de fuite horizontaux

56



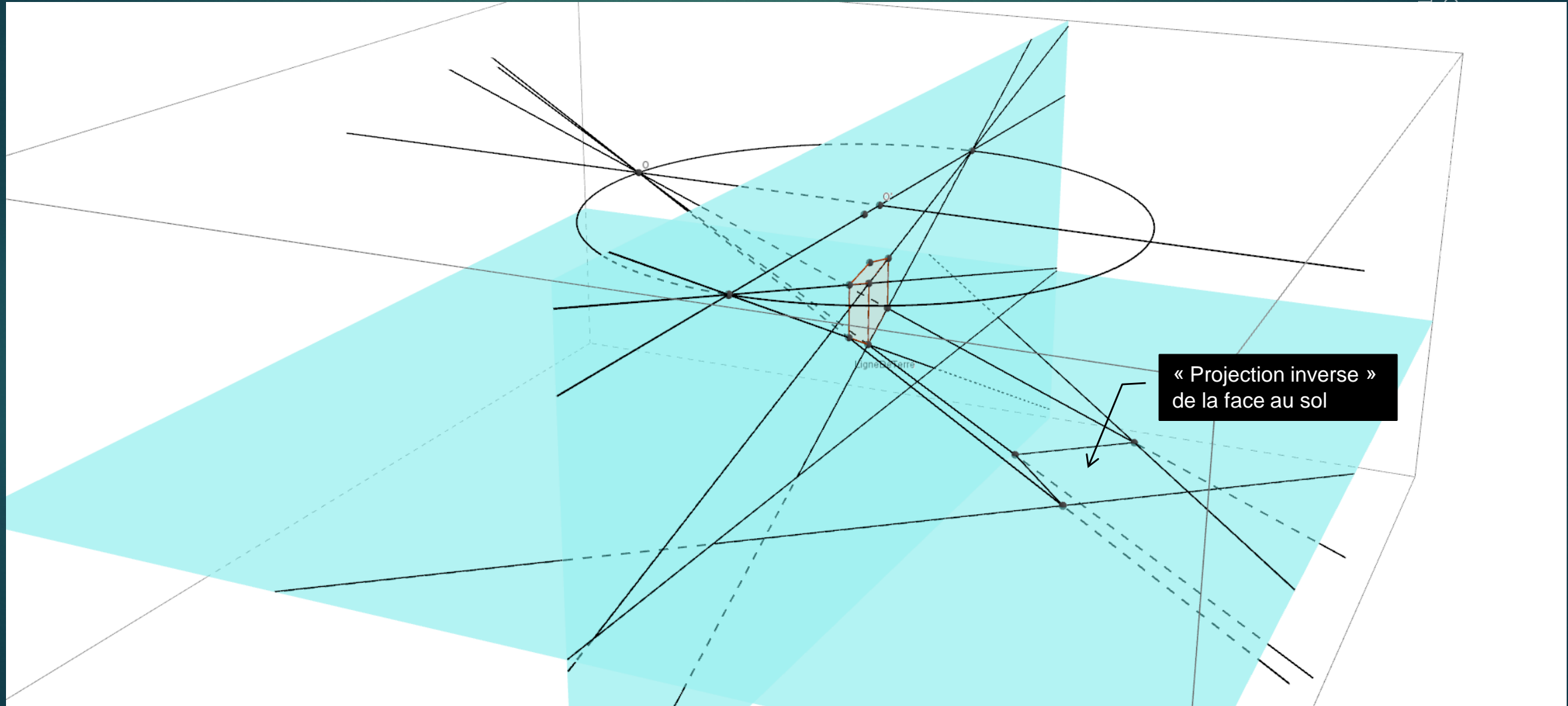
Calcul du point de vue à partir de deux points de fuite horizontaux

57



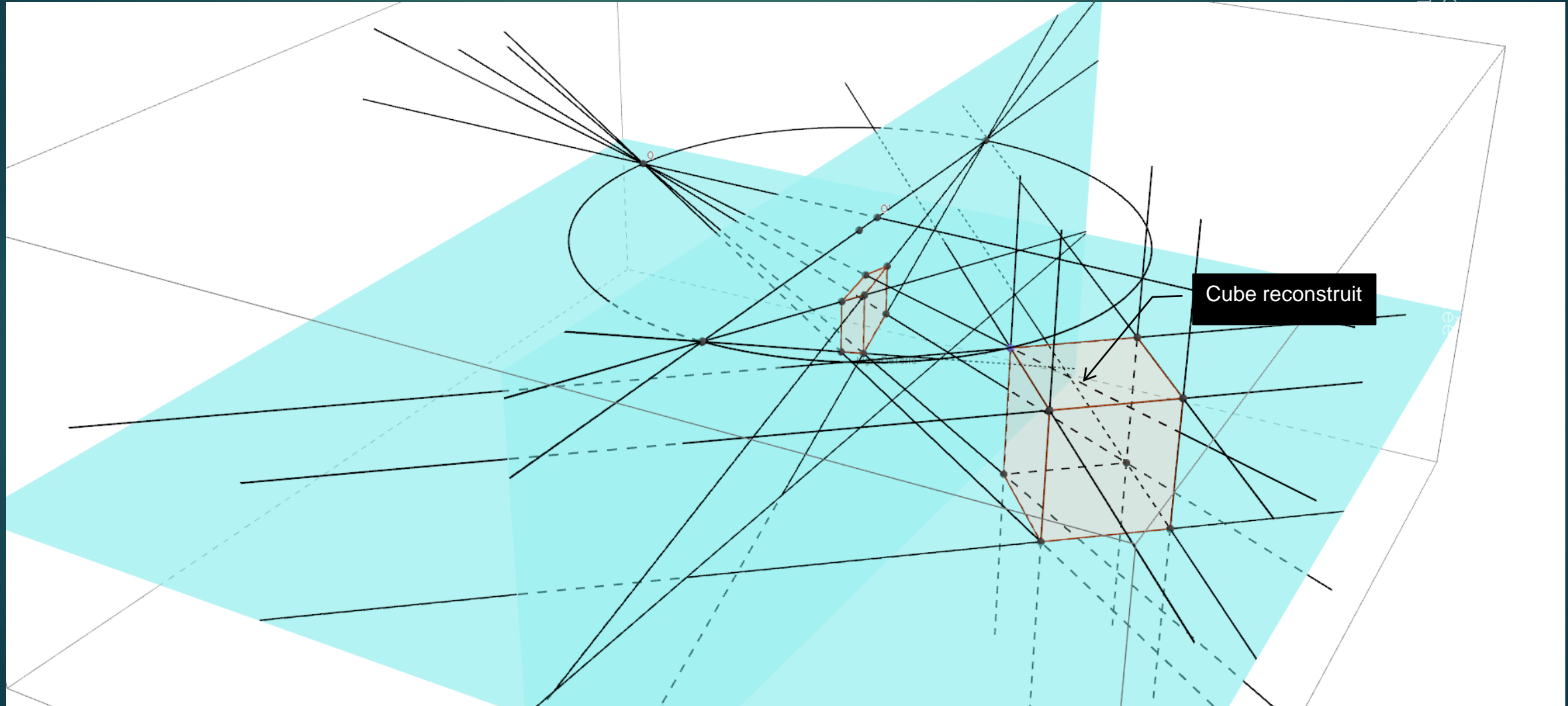
Calcul du point de vue à partir de deux points de fuite horizontaux

58



Calcul du point de vue à partir de deux points de fuite horizontaux

59



Application : photomatch (Sketchup)

60

Géométrie de la réalité augmentée
12/01/2016



Application : photomatch (Sketchup)

61

Géométrie de la réalité augmentée
12/01/2016



Application : photomatch (Sketchup)

62

Géométrie de la réalité augmentée
12/01/2016



Application : photomatch (Sketchup)

63

Géométrie de la réalité augmentée
12/01/2016



Les calculs

$$\cos \theta = \frac{\mathbf{v}^T \boldsymbol{\omega} \mathbf{w}}{(\mathbf{v}^T \boldsymbol{\omega} \mathbf{v})^{1/2} (\mathbf{w}^T \boldsymbol{\omega} \mathbf{w})^{1/2}}$$

avec $\boldsymbol{\omega} = (\mathbf{K} \mathbf{K}^T)^{-1}$ l'image de la conique absolue

$$\theta = \frac{\pi}{2} \Rightarrow \mathbf{v}^T \boldsymbol{\omega} \mathbf{w} = 0, \text{ ce qui permet d'obtenir } \mathbf{K}$$

Puis :

$$\mathbf{V} = \mathbf{K}^{-1} \mathbf{v} / \|\mathbf{K}^{-1} \mathbf{v}\|$$

$$\mathbf{W} = \mathbf{K}^{-1} \mathbf{w} / \|\mathbf{K}^{-1} \mathbf{w}\|$$

$$\mathbf{R} = (\mathbf{V} \quad \mathbf{W} \quad \mathbf{V} \times \mathbf{W})$$

